



OFICINA ESPAÑOLA DE PATENTES Y MARCAS

ESPAÑA



(1) Número de publicación: 2 625 660

51 Int. Cl.:

C12Q 1/00 (2006.01) G01N 33/566 (2006.01) G01N 33/564 (2006.01)

(12)

TRADUCCIÓN DE PATENTE EUROPEA

T3

(86) Fecha de presentación y número de la solicitud internacional: 29.09.2010 PCT/US2010/050746

(87) Fecha y número de publicación internacional: 07.04.2011 WO11041433

(96) Fecha de presentación y número de la solicitud europea: 29.09.2010 E 10821183 (0)

(97) Fecha y número de publicación de la concesión europea: 29.03.2017 EP 2483417

(54) Título: Método para diagnosticar y tratar encefalitis o epilepsia

(30) Prioridad:

29.09.2009 US 246843 P

Fecha de publicación y mención en BOPI de la traducción de la patente: **20.07.2017**

(73) Titular/es:

THE TRUSTEES OF THE UNIVERSITY OF PENNSYLVANIA (100.0%) 3160 Chestnut Street, Suite 200 Philadelphia, PA 19104-6283, US

(72) Inventor/es:

DALMAU, JOSEP

(74) Agente/Representante:

CAMPELLO ESTEBARANZ, Reyes

DESCRIPCIÓN

Método para diagnosticar y tratar encefalitis o epilepsia

CAMPO DE LA INVENCIÓN

5

10

15

20

25

30

35

40

La invención se refiere a métodos para diagnosticar una encefalitis autoinmune o una epilepsia en un sujeto utilizando un anticuerpo contra un receptor de ácido γ-amino-butírico-B (GABA_B) inhibidor.

ANTECEDENTES DE LA INVENCIÓN

La plasticidad sináptica es una propiedad fundamental de las neuronas en la que subyacen mecanismos de la memoria, el aprendizaje y la cognición. La plasticidad depende de las complejas interacciones de canales de iones y receptores sinápticos, incluyendo el glutamato excitatorio receptor de N-metil-D-aspartato (NMDAR) y receptor de ácido α-amino-3-hidroxi-5-metil-4-isoxazolpropiónico (AMPAR). Los modelos animales de interrupción farmacológica o genética de estos receptores resultan en alteraciones graves de la memoria, el aprendizaje, el comportamiento y convulsiones. Por lo tanto se espera que las respuestas inmunitarias contra los dominios extracelulares de estos receptores resulten en síntomas similares. De hecho, dos trastornos recientemente identificados en relación con anticuerpos frente a epítopos extracelulares de la subunidad NR1 del NMDAR y las subunidades GluR1/2 del AMPAR tienen como resultado encefalitis que se manifiestan con problemas psiguiátricos, de comportamiento y de memoria prominentes, a menudo acompañados de convulsiones. En estas dos autoinmunidades sinápticas cada uno de los anticuerpos provoca una disminución drástica y específica de los niveles del receptor diana en neuronas cultivadas, lo que sugiere que son patógenas. Adicionalmente, los síndromes neurológicos responden a menudo al tratamiento y, en algunos pacientes, la respuesta inmunitaria se produce como una manifestación paraneoplásica de un tumor que expresa el receptor diana, que se asemeja en muchos aspectos a los trastornos autoinmunes de la sinapsis neuromuscular (p. ej., síndrome de Lambert-Éaton y miastenia grave). Estos hallazgos, junto con una notable especificidad síndrome de anticuerpos y la alta frecuencia de algunos trastornos (p. ej., la encefalitis anti-NMDAR) han llamado la atención sobre otros síndromes en los que la memoria y el comportamiento están alterados y ocurren con frecuencia convulsiones. En algunos de estos síndromes, una patogénesis mediada inmune es sugerida por la respuesta clínica a la inmunoterapia empírica, sugiriendo los hallazgos de CSF y MRI una encefalitis límbica, o la detección de anticuerpos contra antígenos neuronales extracelulares aún desconocidos.

Mitoma *et al.*, 2003, *Journal of the Neurological Sciences*, 208: 51-56 describe la deficiencia dual de respuestas sinápticas mediadas por los receptores GABA_A y GABA_B por parte de auto-anticuerpos contra ácido glutámico decarboxilasa. Mazzi *et al.*, 2008, *Transfusion and Apheresis Science*, 39: 229-233 describe a paciente con encefalitis límbica paraneoplásica con auto-anticuerpos contra ácido glutámico decarboxilasa, que fue tratado utilizando intercambio de plasma terapéutico.

Una mejor comprensión de la función de diversos antígenos puede ayudar a mejorar las estrategias del tratamiento. Para el clínico que actualmente se enfrenta a estos pacientes, sin embargo, la mejor oportunidad para afectar el resultado neurológico depende de: (1) el diagnóstico precoz de la enfermedad, (2) el descubrimiento temprano y el tratamiento del tumor, y (3) el uso de la inmunoterapia. Por consiguiente, existe una necesidad de métodos mejorados de diagnosticar la encefalitis autoinmune o ataques epilépticos.

SUMARIO DE LA INVENCIÓN

La presente invención proporciona un método para diagnosticar una encefalitis autoinmune, un tumor oculto que provoca una encefalitis autoinmune, o en un sujeto con epilepsia, un tumor que provoca la epilepsia, comprendiendo el método testar una muestra biológica de un sujeto para determinar la presencia de un anticuerpo contra un receptor GABA_B, en el que la presencia de dicho anticuerpo en dicha muestra biológica es indicativa de que el sujeto tiene una encefalitis autoinmune o un tumor oculto que provoca dicha encefalitis autoinmune, o en los casos en los que el sujeto tiene epilepsia, la presencia de dicho anticuerpo es indicativa de un tumor en dicho sujeto que provoca dicha epilepsia.

45 En una realización, el anticuerpo se une a la subunidad B1 de un receptor GABA_B. En otra realización, el anticuerpo se une a la subunidad B2 de un receptor GABA_B.

En una realización, la encefalitis autoinmune es una encefalitis autoinmune paraneoplásica. En una realización, la encefalitis autoinmune es una encefalitis del receptor anti-GABA_B. En una realización, la encefalitis autoinmune es una encefalitis autoinmune no paraneoplásica. En una realización, la encefalitis autoinmune comprende una encefalitis límbica.

- En una realización, la encefalitis autoinmune está asociada a síntomas patológicos tales como convulsiones, síntomas psiquiátricos, anomalía en la cognición y el comportamiento, un trastorno en el movimiento o movimientos anormales, un nivel disminuido de conciencia, hipoventilación, amnesia o déficit de memoria, o una combinación de los mismos.
- En una realización, la encefalitis autoinmune está asociada con un tumor. En determinadas realizaciones, el tumor 10 puede ser un cáncer de pulmón de células pequeñas o un tumor neuroendocrino del pulmón u otros órganos.

En una realización, la muestra biológica es una muestra de fluido cerebroespinal (CSF). En otras realizaciones, la muestra biológica es una muestra de suero o de plasma.

Otras características y ventajas de la presente invención resultarán evidentes a partir de la descripción detallada, ejemplos y figuras siguientes.

15 BREVE DESCRIPCIÓN DE LAS FIGURAS

20

45

La Figura 1 muestra una MRI de un paciente con anticuerpos contra el receptor GABA_B y encefalitis límbica. MRIs del cerebro de FLAIR axiales del caso 1, tomadas en la presentación (A) mostraron una señal incrementada en los lóbulos temporales mediales (flechas), más pronunciadas a la izquierda. La repetición del estudio en 1 mes (B) mostró una mejoría. La repetición de los estudios a los 3 y 9 meses después de la presentación (C, D) se mantuvo estable.

La Figura 2 muestra un inmuno-marcaje de cerebro de rata con anticuerpos del paciente. Corte sagital del cerebro de rata inmuno-teñido con anticuerpos CSF de un paciente con encefalitis límbica. La extensa tinción se observó en el neurópilo del hipocampo, el tálamo, el cerebelo y la corteza cerebral.

- La Figura 3 muestra que los anticuerpos de los pacientes reaccionan con epítopos extracelulares y precipitan las subunidades B1 y B2 del receptor GABA_B. El cultivo de las neuronas del hipocampo de ratas se incubó (in vivo, no permeabilizadas) con el CSF de un paciente con LE. La intensa reactividad a modo de puntos indica anticuerpos del paciente con antígenos de la superficie celular (A); barra de escala = 10 μm. La precipitación de estos antígenos utilizando anticuerpos del paciente se muestra en un gel en el que las proteínas se visualizan con EZBlue (B). Los anticuerpos del paciente (P) precipitaron dos bandas de proteínas a ~105-90 kDa; estas bandas no se observan en el precipitado utilizando CSF de un individuo de control (N). La secuenciación de todas las bandas utilizando espectrometría de masas mostró las subunidades B1 y B2 del receptor GABA_B. Otras bandas más pequeñas eran fragmentos proteolíticos y la IgG del paciente. La subsiguiente transferencia del gel a nitrocelulosa y la inmunotransferencia con anticuerpos monoclonales específicos para cada una de las subunidades de GABA_B confirmó que los anticuerpos del paciente precipitaron las subunidades B1 y B2 (Paneles en D).
- La Figura 4 muestra que los anticuerpos del paciente reconocen específicamente el receptor GABA_B en las sinapsis neuronales. Imagen confocal de una neurona del hipocampo de rata embrionaria cultivada, triplemente marcada con anticuerpos del paciente (verde), un anticuerpo policlonal de cobaya contra un epítopo intracelular del receptor GABA_{B1} (rojo) y el marcador presináptico bassoon (azul) (a). Área de la dendrita de la misma neurona que muestra la tinción de anticuerpos del paciente (b), la tinción de anticuerpos receptor policlonal GABA_{B1} de cobaya (c), la tinción de anticuerpos de paciente y de cobaya (d) y la tinción triple (e). La cuantificación de la localización conjunta de marcaje de las dendritas de 24 neuronas se muestra en (f).

La Figura 5 muestra la detección de anticuerpos para la subunidad GABA_{B1} utilizando un ensayo basado en células HEK293. Células HEK293 transfectadas con subunidades B1 y B2 del receptor GABA_B muestran reactividad con CSF de un paciente con encefalitis límbica (a) y un anticuerpo policional contra la subunidad B1 del receptor GABA_B (b); ambas reactividades se combinan en (c). Las mismas células no reaccionan con el CSF de un individuo control (d); las reactividades se combinaron en (f). Método de inmunofluorescencia; x400.

La Figura 6 muestra la expresión del receptor GABA_B por el cáncer de pulmón de células pequeñas. Secciones consecutivas de dos SCLCs inmunoteñidas con un anticuerpo policlonal contra el receptor GABA_{B1} (a, c) e IgG biotinilada de un paciente con anticuerpos contra el receptor GABA_{B1}. Ambos anticuerpos muestran una inmunotinción heterogénea que indica la expresión del receptor GABA_{B1} en ambos SCLCs. Método de avidinabiotina peroxidasa; secciones ligeramente contra-teñidas con hematoxilina; x400.

La Figura 7 muestra la detección de $GABA_BR$ -ab utilizando un ensayo basado en células HEK293. Células HEK293 se transfectaron para expresar el receptor $GABA_{B1/B2}$ y se incubaron in vivo, no permeabilizadas, con CSF de un paciente. Después de ello, las células se fijaron y se incubaron con un anticuerpo policlonal contra un epítopo intracelular de la subunidad B1 del receptor GABAB. Obsérvese que el CSF de ese paciente tiñe la superficie celular de células que expresan específicamente los receptores $GABA_B$ (A) tal como se demuestra por el anticuerpo informador intracelular (B). Ambas reactividades se muestran combinadas en C. Los núcleos contra-teñidos con DAPI. Barra de escala = 20 μ m.

La Figura 8 muestra el cultivo primario de neuronas del hipocampo de rata incubadas *in vivo* con CSF de un paciente con GABA_BR-ab. Hay una intensa reactividad punteada en la membrana neuronal. Barra de escala = 20 um.

DESCRIPCIÓN DETALLADA DE LA INVENCIÓN

5

10

15

25

30

35

40

45

La invención se refiere a métodos para diagnosticar una encefalitis autoinmune o una epilepsia en un sujeto utilizando un anticuerpo contra un receptor GABA_B.

En una realización, proporcionada en esta memoria, es un método para diagnosticar una encefalitis autoinmune en un sujeto, comprendiendo el método someter a ensayo una muestra biológica del sujeto para determinar la presencia de un anticuerpo contra un receptor GABAB, en el que la presencia de dicho anticuerpo en dicha muestra biológica es indicativa de que el sujeto tiene una encefalitis autoinmune.

En otra realización, se proporciona en esta memoria un método para diagnosticar un tumor oculto que provoca una encefalitis autoinmune en un sujeto, comprendiendo el método someter a ensayo una muestra biológica del sujeto para determinar la presencia de un anticuerpo contra un receptor GABA_B, en el que la presencia de dicho anticuerpo en dicha muestra biológica es indicativa de que el sujeto tiene un tumor oculto que es la causa de dicha encefalitis autoinmune.

En otra realización, se proporciona en esta memoria un método para diagnosticar un tumor que provoca epilepsia en un sujeto con epilepsia, comprendiendo el método someter a ensayo una muestra biológica del sujeto para determinar la presencia de un anticuerpo contra un receptor GABA_B, en el que la presencia de dicho anticuerpo en dicha muestra biológica es indicativa de la presencia de un tumor en dicho sujeto y dicho tumor es una causa de dicha epilepsia.

La solicitud también describe un método para diagnosticar un tumor en un sujeto que tiene epilepsia, que comprende la etapa de: obtener una muestra biológica de dicho sujeto; y someter a ensayo dicha muestra biológica para determinar la presencia de un anticuerpo contra un receptor GABA_B, en el que la presencia de dicho anticuerpo en dicha muestra biológica indica la presencia de un tumor en dicho sujeto, diagnosticando de ese modo dicho tumor en dicho sujeto que tiene dicha epilepsia.

La solicitud también describe un método para tratar una encefalitis autoinmune en un sujeto, que comprende las etapas de: detectar un tumor asociado con dicho encefalitis autoinmune sometiendo a ensayo un fluido corporal de dicho sujeto en cuanto a un anticuerpo contra un receptor GABA_B, en el que la presencia de dicho anticuerpo en dicho fluido corporal indica la presencia de dicho tumor en dicho sujeto y que dicho tumor es una causa de dicha encefalitis autoinmune; y tratar dicho tumor.

En una realización, la presente invención proporciona un método para determinar una causa de una encefalitis en un sujeto, que comprende someter a ensayo un fluido corporal del sujeto en cuanto a un anticuerpo contra un receptor GABA_B. En otra realización, la presencia de un anticuerpo contra la subunidad B1 de un receptor GABA_B en el fluido corporal indica que la encefalitis es de etiología autoinmune. En otra realización, la presencia de un anticuerpo

contra la subunidad B2 de un receptor GABA_B en el fluido corporal indica que la encefalitis es de etiología autoinmune.

En otra realización, los métodos y composiciones proporcionados en esta memoria facilitan el reconocimiento de una forma grave de encefalitis autoinmune que es a menudo sensible al tratamiento. Los métodos descritos en esta memoria enfatizan la idea de que la autoinmunidad puede afectar el comportamiento y, en particular, que un anticuerpo contra un receptor GABA_B puede alterar la emoción, en una realización, o la memoria, la conciencia o su combinación en otras realizaciones independientes.

5

10

15

45

La solicitud describe un método para determinar una causa de una encefalitis autoinmune en un sujeto, que comprende la etapa de someter a ensayo un fluido corporal del sujeto en cuanto a un anticuerpo contra un receptor GABA_B, determinando de ese modo una causa de una encefalitis autoinmune en un sujeto. En otra realización, la presencia del anticuerpo indica la presencia de un tumor en el sujeto. En otra realización, el tumor es una causa de la encefalitis autoinmune.

En otra realización, la presente invención proporciona un método para diagnosticar una encefalitis autoinmune en un sujeto, que comprende la etapa de someter a ensayo un fluido corporal del sujeto en cuanto a un anticuerpo contra la subunidad B1 de un receptor GABA_B, diagnosticando de ese modo dicha encefalitis autoinmune en dicho sujeto.

La muestra biológica utilizada en los métodos descritos en esta memoria, un fluido corporal que se somete a ensayo por los métodos de la presente invención es, en otra realización, un fluido cefalorraquídeo (CSF). En otra realización, el fluido corporal es plasma. En otra realización, el fluido corporal es cualquier otro tipo de líquido conocido en la técnica. En otra realización, la muestra biológica es fluido amniótico, sangre, suero, saliva o su combinación.

- La encefalitis diagnosticada por los métodos de la presente invención es una encefalitis autoinmune. En una realización, la encefalitis autoinmune es una encefalitis paraneoplásica. En otra realización, la encefalitis autoinmune es una encefalitis no paraneoplásica. En otra realización, la encefalitis autoinmune es una encefalitis autoinmune paraneoplásica. En otra realización, la encefalitis autoinmune es una encefalitis autoinmune no paraneoplásica. En otra realización, la encefalitis autoinmune es cualquier otro tipo de encefalitis autoinmune conocida en la técnica.
- En una realización, se desconoce la frecuencia de encefalitis anti-GABA_B paraneoplásica, diagnosticada por los métodos descritos en esta memoria. En otra realización, la encefalitis anti-GABA_B paraneoplásica es con frecuencia no reconocida. Esto puede ser debido a varias características que hacen que este trastorno sea único entre las encefalitis paraneoplásicas, incluyendo en una realización, la participación de mujeres relativamente jóvenes entre las 2ª y 5ª décadas, o, en otra realización, la presentación inusual con manifestaciones psiquiátricas prominentes, o en otra realización, hallazgos de MRI normales o atípicos, que en el 75% de los casos consisten en anomalías leves, transitorias T2 o FLAIR fuera de los lóbulos temporales medios, con una mejora cortical en determinadas realizaciones, o todavía en otra realización, la aparición benigna de tumores en los ovarios. En una realización, cualquiera de los sujetos que presentan los síntomas descritos anteriormente son diagnosticados utilizando los métodos descritos en esta memoria.
- En otra realización, la encefalitis autoinmune es una encefalitis límbica. En otra realización, la encefalitis autoinmune se asocia con una disfunción límbica. En otra realización, la encefalitis autoinmune no está asociada con una disfunción límbica.

En una realización, la encefalitis límbica provoca déficits impresionantes que característicamente son dominados por la pérdida rápida y grave de la memoria a corto plazo. En otra realización, los pacientes muestran encefalitis sub-aguda de la vida adulta, afectando principalmente a las zonas límbicas con evidencia de cáncer en una realización. En una realización, la expresión "encefalitis límbica" se refiere a un sujeto que exhibe una pérdida de memoria grave a corto plazo y la demencia en asociación con carcinoma bronquial.

En otra realización, la encefalitis autoinmune diagnosticada por los métodos de la presente invención está asociada con convulsiones. En otra realización, la encefalitis autoinmune se asocia con un síndrome diencefálico. En otra realización, la encefalitis autoinmune se asocia con un síntoma psiquiátrico. En otra realización, la encefalitis autoinmune se asocia con una anomalía en la cognición. En otra realización, la encefalitis autoinmune se asocia con una anormalidad en el comportamiento.

En otra realización, la encefalitis autoinmune se asocia con amnesia. En otra realización, la encefalitis autoinmune se asocia con un déficit de memoria. En otra realización, la encefalitis autoinmune se asocia con problemas de memoria. En otra realización, la encefalitis autoinmune se asocia con un síndrome hipocinético.

En otra realización, la encefalitis autoinmune se asocia con un trastorno del movimiento. En otra realización, la encefalitis autoinmune se asocia con movimientos anormales. En otra realización, el trastorno del movimiento es cualquier otro trastorno del movimiento conocido en la técnica.

5

35

40

En otra realización, la encefalitis autoinmune se asocia con un nivel de conciencia disminuido. En otra realización, la encefalitis autoinmune se asocia con hipoventilación.

En otra realización, la encefalitis autoinmune se asocia con disfunción de cualquier parte del cerebro o de la médula espinal. En otra realización, la encefalitis autoinmune se asocia con una combinación de cualquiera de los síntomas o trastornos anteriores.

En una realización, la encefalitis autoinmune se asocia con un tumor. En una realización, el tumor es un tumor neuroendocrino del cáncer de pulmón o de pulmón de células pequeñas (SCLC). En otra realización, el tumor es un teratoma de ovario. En otra realización, el tumor es un tumor tímico.

15 En otra realización, el tumor es un tumor testicular. En otra realización, el cáncer asociado con la encefalitis es un tumor de cáncer de cuello uterino. En otra realización, el cáncer es un tumor de cáncer de cabeza y cuello. En otra realización, el cáncer es un tumor de cáncer de mama. En otra realización, el cáncer es un tumor de cáncer anoquenital.

En otra realización, el cáncer es un melanoma. En otra realización, el cáncer es un sarcoma. En otra realización, el cáncer es un carcinoma. En otra realización, el cáncer es un linfoma. En otra realización, el cáncer es un a leucemia. En otra realización, el cáncer es un glioma. En otra realización, el cáncer es un glioma. En otra realización, el cáncer es un tumor de células germinales. En otra realización, el cáncer es un coriocarcinoma.

En otra realización, el cáncer es cáncer de páncreas. En otra realización, el cáncer es cáncer de ovario. En otra realización, el cáncer es cáncer gástrico. En otra realización, el cáncer es una lesión carcinomatosa del páncreas.

En otra realización, el cáncer es adenocarcinoma pulmonar. En otra realización, el cáncer es adenocarcinoma colorrectal. En otra realización, el cáncer es adenocarcinoma pulmonar escamoso. En otra realización, el cáncer es adenocarcinoma gástrico. En otra realización, el cáncer es un neoplasma epitelial de la superficie del ovario (p. ej., una variedad benigna, proliferativa o maligna del mismo). En otra realización, el cáncer es un carcinoma de células escamosas oral. En otra realización, el cáncer es carcinoma de pulmón no de células pequeñas. En otra realización, el cáncer es un cáncer de vejiga. En otra realización, el cáncer es un cáncer de vejiga. En otra realización, el cáncer es un cáncer de cabeza y cuello. En otra realización, el cáncer es un carcinoma de próstata.

En otra realización, el cáncer es una leucemia mielógena aguda (LMA). En otra realización, el cáncer es un síndrome mielodisplásico (MDS). En otra realización, el cáncer es un cáncer de pulmón no de células pequeñas (NSCLC). En otra realización, el cáncer es un tumor de Wilms. En otra realización, el cáncer es una leucemia. En otra realización, el cáncer es un linfoma. En otra realización, el cáncer es un tumor desmoplásico de células redondas pequeñas. En otra realización, el cáncer es un mesotelioma (p. ej., mesotelioma maligno). En otra realización, el cáncer es un cáncer de colon. En otra realización, el cáncer es un cáncer de colon. En otra realización, el cáncer es un cáncer de mama. En otra realización, el cáncer es un cáncer de ovario. En otra realización, el cáncer es un cáncer de ovario. En otra realización, el cáncer es un cáncer de tiroides. En otra realización, el cáncer es un cáncer de hígado. En otra realización, el cáncer es un cáncer de hígado. En otra realización, el cáncer es un cáncer es otro carcinoma o sarcoma. En otra realización, el cáncer es un cáncer es otro carcinoma o sarcoma. En otra realización, el tumor es cualquier otro tipo de tumor conocido en la técnica.

En otra realización, la presente invención proporciona un método para determinar una causa de epilepsia en un sujeto, que comprende la etapa de someter a ensayo un fluido corporal de dicho sujeto en cuanto a un anticuerpo a un receptor GABA_B, determinando con ello una causa de dicha epilepsia en dicho sujeto, en donde el anticuerpo indica la presencia de un tumor en el sujeto, y el tumor es una causa de la epilepsia.

La epilepsia diagnosticada por los métodos de la presente invención es, en otra realización, una epilepsia idiopática. En otra realización, la epilepsia responde a una terapia de agotamiento de IgG. En otra realización, la epilepsia se asocia con convulsiones parciales. En otra realización, la epilepsia se asocia con convulsiones parciales simples. En otra realización, la epilepsia se asocia con convulsiones generalizadas. En otra realización, la epilepsia se asocia con la ausencia de convulsiones (achaques). En otra realización, la epilepsia se asocia con convulsiones mioclónicas. En otra realización, la epilepsia se asocia con convulsiones convu

5

10

15

20

25

35

40

45

En otra realización, la epilepsia se asocia con el síndrome de West. En otra realización, la epilepsia se asocia con el síndrome de Lennox-Gastaut. En otra realización, la epilepsia se asocia con cualquier otro síndrome conocido en la técnica.

En otra realización, la epilepsia es de causa desconocida. En otra realización, la epilepsia es cualquier otro tipo de epilepsia conocida en la técnica.

"Causa de" una encefalitis autoinmune, epilepsia, etc. se refiere, en otra realización, a una causa primaria del trastorno. En otra realización, la expresión se refiere a una causa que contribuye al trastorno. En otra realización, la expresión se refiere a una causalidad indirecta. En otra realización, el término se refiere a la causalidad a través de una respuesta inmune inducida por el tumor. En otra realización, la expresión se refiere a la causalidad importante de la enfermedad.

La solicitud describe un método para diagnosticar un tumor en un sujeto que tiene una encefalitis, que comprende la etapa de someter a ensayo un fluido corporal de dicho sujeto en cuanto a un anticuerpo contra un receptor GABA_B, diagnosticando de ese modo un tumor en dicho sujeto que tiene dicha encefalitis. En otra realización, la presencia del anticuerpo indica una presencia de un tumor en el sujeto.

La solicitud también describe un método para detectar un tumor en un sujeto que tiene una encefalitis, que comprende la etapa de someter a ensayo un fluido corporal de dicho sujeto en cuanto a un anticuerpo contra un receptor GABA_B, detectando con ello dicho tumor en dicho sujeto que tiene dicha encefalitis. En otra realización, la presencia del anticuerpo indica la presencia de un tumor en el sujeto.

La solicitud también describe un método para diagnosticar un tumor en un sujeto que tiene una epilepsia, que comprende la etapa de someter a ensayo un fluido corporal de dicho sujeto en cuanto a un anticuerpo contra un receptor GABA_B, diagnosticando con ello dicho tumor en dicho sujeto que tiene dicha epilepsia. En otra realización, la presencia del anticuerpo indica la presencia de un tumor en el sujeto.

La solicitud describe un método para detectar un tumor en un sujeto que tiene una epilepsia, que comprende la etapa de someter a ensayo un fluido corporal de dicho sujeto en cuanto a un anticuerpo contra un receptor GABA_B, detectando con ello dicho tumor en dicho sujeto que tiene dicha epilepsia. En otra realización, la presencia de dicho anticuerpo indica una presencia de un tumor en el sujeto.

La solicitud describe, además, un método para diagnosticar o detectar una enfermedad GABA_B mediada en un sujeto, que comprende la etapa de someter a ensayo un fluido corporal del sujeto en cuanto a un anticuerpo contra un anticuerpo contra un receptor GABA_B, diagnosticando o detectando con ello dicha enfermedad mediada por GABA_B en dicho sujeto.

Los receptores GABA_B median en la inhibición presináptica por dos mecanismos: la activación de los canales de potasio de rectificación interna activados por proteína G (GIRK) y la inhibición de los canales de calcio. También atenúan las frecuencias de disparo presinápticas. En la post-sinapsis, los receptores GABA_B median en la inhibición por mecanismos similares y mediante la inducción de un potencial post-sináptico inhibitorio lento (IPSP). A un nivel de la red neuronal, los receptores GABA_B modulan su actividad limitando la duración de los estados de red de alta actividad, impidiendo una sincronización neuronal excesiva, y permitiendo que nuevos estímulos rompan la actividad sincrónica. Los receptores GABA_B están ampliamente distribuidos en el cerebro y la médula espinal, pero son particularmente abundantes en el hipocampo, el tálamo y el cerebelo, que son las zonas de más intenso inmunomarcaje del cerebro de rata por los anticuerpos de los pacientes. El auto-antígeno principal de los anticuerpos de los pacientes, la subunidad GABA_{B1}, es necesario para la unión de GABA (y la función del receptor), mientras que la subunidad GABA_{B2} se requiere para la localización del receptor a las zonas apropiadas de la membrana celular y

para el acoplamiento a la proteína G. La deleción de $GABA_{B1}$ en ratones transgénicos en convulsiones predominantes, déficit de memoria y comportamientos de ansiedad incrementados. Tanto la evidencia genética como la farmacológica apoyan un papel importante para receptores $GABA_B$ en el control de la ansiedad y la regulación del humor.

La solicitud también describe un método de tratamiento de la encefalitis autoinmune en un sujeto. El método comprende las etapas de: detectar un tumor asociado con una encefalitis autoinmune al someter a ensayo un fluido corporal de dicho sujeto en cuanto a un anticuerpo a un receptor GABA_B, en donde una presencia de dicho anticuerpo indica la presencia de dicho tumor en dicho sujeto y que dicho tumor es una causa de dicha encefalitis autoinmune, y tratar dicho tumor. El tumor puede ser tratado durante la fase temprana. El tumor puede ser tratado en el espacio de los cuatro meses de la aparición de un síntoma asociado con la encefalitis autoinmune, o en el espacio de los tres meses de la aparición de un síntoma asociado con la encefalitis autoinmune, o en el espacio de los dos meses de la aparición de un síntoma asociado con la encefalitis autoinmune, o en el espacio de un mes de la aparición de un síntoma asociado con la encefalitis autoinmune, o en el espacio de un mes de la aparición de un síntoma asociado con la encefalitis autoinmune.

Tal como se describe en esta memoria, la etapa de tratar dicho tumor comprende eliminar dicho tumor, o puede comprender la inmunoterapia, o puede comprender eliminar dicho tumor en combinación con inmunoterapia. En otra realización, la etapa de tratar dicho tumor comprende quimioterapia, o comprende eliminar dicho tumor en combinación con inmunoterapia.

20

35

40

En una realización, el receptor GABA_B comprende subunidades. En otra realización, los receptores GABA_B se forman a partir de heterómeros de subunidades B1 y B2. En otra realización, se requiere que ambas subunidades creen un receptor funcional que contiene subunidades B1 y B2.

La subunidad B1 puede ser una subunidad B1-a. En otra realización, el receptor existe como heterómeros de subunidades B1 y subunidades B2. En una realización, B1 y B2 se combinan para formar subtipos de receptores con distintas propiedades farmacológicas, localización y capacidad de interactuar con mensajeros intracelulares.

En otra realización, la subunidad B1 es un monómero de un multímero de receptor GABA_B. En otra realización, el multímero es un homómero que comprende dos o más subunidades. En otra realización, el multímero es un homodímero que comprende dos subunidades B1. En otra realización, el multímero es un heterómero que comprende una subunidad B1. En otra realización, el multímero es un heterómero que comprende una subunidad B1 y una subunidad B2. En otra realización, el multímero es un heterómero que comprende una subunidad B1-a y una subunidad B2. En otra realización, el multímero es un heterómero que comprende la subunidad B1-b y una subunidad B2. En otra realización, el multímero es un heterómero que comprende la subunidad B1-c y una subunidad B2.

En una realización, la subunidad B1 del receptor GABA_B tiene la secuencia tal como se expone a continuación:

MLLLLLAPL FLRPPGAGGA QTPNATSEGC QIIHPPWEGG IRYRGLTRDQ VKAINFLPVD 60 YEIEYVCRGE REVVGPKVRK CLANGSWTDM DTPSRCVRIC SKSYLTLENG KVFLTGGDLP 120 ALDGARVDFR CDPDFHLVGS SRSICSQGQW STPKPHCQVN RTPHSERRAV YIGALFPMSG 180 GWPGGQACQP AVEMALEDVN SRRDILPDYE LKLIHHDSKC DPGQATKYLY ELLYNDPIKI 240 ILMPGCSSVS TLVAEAARMW NLIVLSYGSS SPALSNRQRF PTFFRTHPSA TLHNPTRVKL 300 FEKWGWKKIA TIQQTTEVFT STLDDLEERV KEAGIEITFR QSFFSDPAVP VKNLKRQDAR 360 IIVGLFYETE ARKVFCEVYK ERLFGKKYVW FLIGWYADNW FKIYDPSINC TVDEMTEAVE 420 GHITTEIVML NPANTRSISN MTSQEFVEKL TKRLKRHPEE TGGFQEAPLA YDAIWALALA 480 LNKTSGGGGR SGVRLEDFNY NNQTITDQIY RAMNSSSFEG VSGHVVFDAS GSRMAWTLIE 540

QLQGGSYKKI GYYDSTKDDL SWSKTDKWIG GSPPADQTLV IKTFRFLSQK LFISVSVLSS

600

60

	LGIVLAVVCL SFNIYNSHVR YIQNSQPNLN NLTAVGCSLA LAAVFPLGLD GYHIGRNQFP 660
	FVCQARLWLL GLGFSLGYGS MFTKIWWVHT VFTKKEEKKE WRKTLEPWKL YATVGLLVGM 720
	DVLTLAIWQI VDPLHRTIET FAKEEPKEDI DVSILPQLEH CSSRKMNTWL GIFYGYKGLL 780
5	LLLGIFLAYE TKSVSTEKIN DHRAVGMAIY NVAVLCLITA PVTMILSSQQ DAAFAFASLA 840
	IVFSSYITLV VLFVPKMRRL ITRGEWQSEA QDTMKTGSST NNNEEEKSRL LEKENRELEK 900
	IIAEKEERVS ELRHQLQSRQ QLRSRRHPPT PPEPSGGLPR GPPEPPDRLS CDGSRVHLLY 960
	K 961
	(SEQ ID NO: 1)
10	En otra realización, la subunidad B1 del receptor GABA _B tiene la secuencia tal como se expone a continuación:
	MGPGAPFARV GWPLPLLVVM AAGVAPVWAS HSPHLPRPHS RVPPHPSSER RAVYIGALFP 60
	MSGGWPGGQA CQPAVEMALE DVNSRRDILP DYELKLIHHD SKCDPGQATK YLYELLYNDP 120
	IKIILMPGCS SVSTLVAEAA RMWNLIVLSY GSSSPALSNR QRFPTFFRTH PSATLHNPTR 180
	VKLFEKWGWK KIATIQQTTE VFTSTLDDLE ERVKEAGIEI TFRQSFFSDP AVPVKNLKRQ 240
15	DARIIVGLFY ETEARKVFCE VYKERLFGKK YVWFLIGWYA DNWFKIYDPS INCTVDEMTE 300
	AVEGHITTEI VMLNPANTRS ISNMTSQEFV EKLTKRLKRH PEETGGFQEA PLAYDAIWAL 360
	ALALNKTSGG GGRSGVRLED FNYNNQTITD QIYRAMNSSS FEGVSGHVVF DASGSRMAWT 420
	LIEQLQGGSY KKIGYYDSTK DDLSWSKTDK WIGGSPPADQ TLVIKTFRFL SQKLFISVSV 480
	LSSLGIVLAV VCLSFNIYNS HVRYIQNSQP NLNNLTAVGC SLALAAVFPL GLDGYHIGRN 540
20	QFPFVCQARL WLLGLGFSLG YGSMFTKIWW VHTVFTKKEE KKEWRKTLEP WKLYATVGLL 600
	VGMDVLTLAI WQIVDPLHRT IETFAKEEPK EDIDVSILPQ LEHCSSRKMN TWLGIFYGYK 660
	GLLLLGIFL AYETKSVSTE KINDHRAVGM AIYNVAVLCL ITAPVTMILS SQQDAAFAFA 720
	SLAIVFSSYI TLVVLFVPKM RRLITRGEWQ SEAQDTMKTG SSTNNNEEEK SRLLEKENRE 780
	LEKIIAEKEE RVSELRHQLQ SRQQLRSRRH PPTPPEPSGG LPRGPPEPPD RLSCDGSRVH 840
25	LLYK 844
	(SEQ ID NO: 2)
	En otra realización, la subunidad B1 del receptor GABA _B tiene la secuencia tal como se expone a continuación:

MLLLLLAPL FLRPPGAGGA QTPNATSEGC QIIHPPWEGG IRYRGLTRDQ VKAINFLPVD

YEIEYVCRGE REVVGPKVRK CLANGSWTDM DTPSRCVNRT PHSERRAVYI GALFPMSGGW 120
PGGQACQPAV EMALEDVNSR RDILPDYELK LIHHDSKCDP GQATKYLYEL LYNDPIKIIL 180
MPGCSSVSTL VAEAARMWNL IVLSYGSSSP ALSNRQRFPT FFRTHPSATL HNPTRVKLFE 240
KWGWKKIATI QQTTEVFTST LDDLEERVKE AGIEITFRQS FFSDPAVPVK NLKRQDARII 300
VGLFYETEAR KVFCEVYKER LFGKKYVWFL IGWYADNWFK IYDPSINCTV DEMTEAVEGH 360
ITTEIVMLNP ANTRSISNMT SQEFVEKLTK RLKRHPEETG GFQEAPLAYD AIWALALALN 420
KTSGGGGRSG VRLEDFNYNN QTITDQIYRA MNSSSFEGVS GHVVFDASGS RMAWTLIEQL 480
QGGSYKKIGY YDSTKDDLSW SKTDKWIGGS PPADQTLVIK TFRFLSQKLF ISVSVLSSLG 540
IVLAVVCLSF NIYNSHVRYI QNSQPNLNNL TAVGCSLALA AVFPLGLDGY HIGRNQFPFV 600
CQARLWLLGL GFSLGYGSMF TKIWWVHTVF TKKEEKKEWR KTLEPWKLYA TVGLLVGMDV 660
LTLAIWQIVD PLHRTIETFA KEEPKEDIDV SILPQLEHCS SRKMNTWLGI FYGYKGLLLL 720
LGIFLAYETK SVSTEKINDH RAVGMAIYNV AVLCLITAPV TMILSSQQDA AFAFASLAIV 780
FSSYITLVVL FVPKMRRLIT RGEWQSEAQD TMKTGSSTNN NEEEKSRLLE KENRELEKII 840
AEKEERVSEL RHQLQSRQQL RSRRHPPTPP EPSGGLPRGP PEPPDRLSCD GSRVHLLYK 899
(SEQ ID NO: 3)

5

10

15

25

30

En otra realización, la subunidad B1 es un homólogo de SEQ ID NOs: 1, 2 ó 3. En otra realización, la subunidad B1 es una variante de SEQ ID NOs: 1, 2 ó 3. En otra realización , la subunidad B1 es un isómero de la SEQ ID NOs: 1, 2 ó 3. En otra realización, la subunidad B1 es un fragmento de SEQ ID NOs: 1, 2 ó 3. En otra realización, la subunidad B1 comprende SEQ ID NOs: 1, 2, o 3.

20 En otra realización, la subunidad B1 del receptor GABA_B es codificada por una secuencia de nucleótidos que tiene la secuencia:

ccctctcttc ccccgccct gccttccctt gcaccctcct tcttccctcc gcccgggagc 60 tctccctggt ccccggcgcc gcctccttcc ctcccggctc cccgctcccc gctcccgtgg 120 ctgccgccgc cccggggaag aagagacagg ggtggggttt gggggaagcg agagaggagg 180 ggagagaccc tggccaggct ggagcctgga ttcgagggga ggagggacgg gaggaggaga 240 300 aaggtggagg agaagggagg ggggagcggg gaggagcggc cgggcctggg gccttgaggc 360 ccggggagag ccggggagcc gggcccgcgc gccgagatgt tgctgctgct gctactggcg ccactettee teegeeece gggegeggge ggggegeaga eeceeaaege eaceteagaa 420 ggttgccaga tcatacaccc gccctgggaa gggggcatca ggtaccgggg cctgactcgg 480 gaccaggtga aggctatcaa cttcctgcca gtggactatg agattgagta tgtgtgccgg 540

600 ggggagcgcg aggtggtggg gcccaaggtc cgcaagtgcc tggccaacgg ctcctggaca 660 gatatggaca cacccagccg ctgtgtccga atctgctcca agtcttattt gaccctggaa aatgggaagg ttttcctgac gggtggggac ctcccagctc tggacggagc ccgggtggat 720 ttccggtgtg accccgactt ccatctggtg ggcagctccc ggagcatctg tagtcagggc 780 cagtggagca cccccaagcc ccactgccag gtgaatcgaa cgccacactc agaacggcgc 840 gcagtgtaca tcggggcact gtttcccatg agcgggggct ggccaggggg ccaggcctgc 900 cagcccgcgg tggagatggc gctggaggac gtgaatagcc gcagggacat cctgccggac 960 1020 tatgagetea ageteateea ecaegaeage aagtgtgate eaggeeaage eaceaagtae ctatatgage tgetetacaa egaceetate aagateatee ttatgeetgg etgeagetet 1080 gtetecaege tggtggetga ggetgetagg atgtggaace teattgtget tteetatgge 1140 tccagctcac cagccctgtc aaaccggcag cgtttcccca ctttcttccg aacgcaccca 1200 1260 tcagccacac tccacaaccc tacccgcgtg aaactctttg aaaagtgggg ctggaagaag 1320 attgctacca tccagcagac cactgaggtc ttcacttcga ctctggacga cctggaggaa 1380 cgagtgaagg aggctggaat tgagattact ttccgccaga gtttcttctc agatccagct gtgcccgtca aaaacctgaa gcgccaggat gcccgaatca tcgtgggact tttctatgag 1440 actgaagccc ggaaagtttt ttgtgaggtg tacaaggagc gtctctttgg gaagaagtac 1500 gtctggttcc tcattgggtg gtatgctgac aattggttca agatctacga cccttctatc 1560 1620 aactgcacag tggatgagat gactgaggcg gtggagggcc acatcacaac tgagattgtc 1680 atgctgaatc ctgccaatac ccgcagcatt tccaacatga catcccagga atttgtggag 1740 aaactaacca agcgactgaa aagacaccct gaggagacag gaggcttcca ggaggcaccg 1800 ctggcctatg atgccatctg ggccttggca ctggccctga acaagacatc tggaggaggc 1860 ggccgttctg gtgtgcgcct ggaggacttc aactacaaca accagaccat taccgaccaa 1920 atctaccggg caatgaactc ttcgtccttt gagggtgtct ctggccatgt ggtgtttgat 1980 gccagcggct ctcggatggc atggacgctt atcgagcagc ttcagggtgg cagctacaag aagattggct actatgacag caccaaggat gatctttcct ggtccaaaac agataaatgg 2040 attggagggt ccccccagc tgaccagacc ctggtcatca agacattccg cttcctgtca 2100 cagaaactct ttatctccgt ctcagttctc tccagcctgg gcattgtcct agctgttgtc 2160 tgtctgtcct ttaacatcta caactcacat gtccgttata tccagaactc acagcccaac 2220

5

10

15

20

2280 ctgaacaacc tgactgctgt gggctgctca ctggctttag ctgctgtctt ccccctgggg 2340 ctcgatggtt accacattgg gaggaaccag tttcctttcg tctgccaggc ccgcctctgg ctcctgggcc tgggctttag tctgggctac ggttccatgt tcaccaagat ttggtgggtc 2400 cacacggtct tcacaaagaa ggaagaaaag aaggagtgga ggaagactct ggaaccctgg 2460 aagctgtatg ccacagtggg cctgctggtg ggcatggatg tcctcactct cgccatctgg 2520 cagatcgtgg accetetgea eeggaceatt gagacatttg eeaaggagga acctaaggaa 2580 gatattgacg tctctattct gccccagctg gagcattgca gctccaggaa gatgaataca 2640 tggcttggca ttttctatgg ttacaagggg ctgctgctgc tgctgggaat cttccttgct 2700 tatgagacca agagtgtgtc cactgagaag atcaatgatc accgggctgt gggcatggct 2760 atctacaatg tggcagtcct gtgcctcatc actgctcctg tcaccatgat tctgtccagc 2820 cagcaggatg cagcetttgc etttgcetet ettgccatag tttteteete etatateaet 2880 2940 cttgttgtgc tctttgtgcc caagatgcgc aggctgatca cccgagggga atggcagtcg 3000 gaggcgcagg acaccatgaa gacagggtca tcgaccaaca acaacgagga ggagaagtcc 3060 cggctgttgg agaaggagaa ccgtgaactg gaaaagatca ttgctgagaa agaggagcgt 3120 gtctctgaac tgcgccatca actccagtct cggcagcagc tccgctcccg gcgccaccca 3180 ccgacacccc cagaaccctc tgggggcctg cccaggggac cccctgagcc ccccgaccgg cttagctgtg atgggagtcg agtgcatttg ctttataagt gagggtaggg tgagggagga 3240 3300 caggccagta gggggaggga aagggagagg ggaagggcag gggactcagg aagcaggggg 3360 tccccatccc cagctgggaa gaacatgcta tccaatctca tctcttgtaa atacatgtcc 3420 ccctgtgagt tctgggctga tttgggtctc tcatacctct gggaaacaga cctttttctc 3480 tettactget teatgtaatt ttgtateace tetteacaat ttagttegta eetggettga agetgeteac tgeteacaeg etgeeteete ageageetea etgeatettt etetteecat 3540 3600 gcaacaccct cttctagtta ccacggcaac ccctgcagct cctctgcctt tgtgctctgt 3660 tectgtecag caggggtete ceaacaagtg etetttecae eccaaagggg eeteteettt tctccactgt cataatctct ttccatctta cttgcccttc tatactttct cacatgtggc 3720 tccccctgaa ttttgcttcc tttgggagct cattcttttc gccaaggctc acatgctcct 3780 tgcctctgct ctgtgcactc acgctcagca cacatgcatc ctcccctctc ctgcgtgtgc 3840 ccactgaaca tgctcatgtg tacacacgct tttcccgtat gctttcttca tgttcagtca 3900

5

10

15

20

3960 catgtgctct egggtgccct gcattcacag ctacgtgtgc ccctctcatg gtcatgggtc tgcccttgag cgtgtttggg taggcatgtg caatttgtct agcatgctga gtcatgtctt 4020 tcctatttgc acacgtccat gtttatccat gtactttccc tgtgtaccct ccatgtacct 4080 4140 tgcacattgt tatgcacttt tccccaattc atgtttggtg gggccatcca caccctctcc 4200 ttgtcacaga atctccattt ctgctcagat tccccccatc tccattgcat tcatgtacta 4260 ccctcagtct acactcacaa tcatcttctc ccaagactgc tcccttttgt tttgtgtttt 4320 tttgagggga attaaggaaa aataagtggg ggcaggtttg gagagctgct tccagtggat 4380 agttgatgag aatcetgace aaaggaagge accettgact gttgggatag acagatggae 4440 ctatggggtg ggaggtggtg tccctttcac actgtggtgt ctcttgggga aggatctccc 4500 cgaatctcaa taaaccagtg aacagtgtga ctcggcaaaa aaaaaaa 4547 (SEQ ID NO: 4)

5

10

15

20

25

En otra realización, la subunidad B1 del receptor GABA_B es codificada por una secuencia de nucleótidos que tiene la secuencia:

60 egtteettte eteetegagg ttgeateece eeteecetee eegeecetee gaetgteget cccacctcgg cgctcgcttc cctccccgcc cccttcctgc ctccccagct cccgcccgcc 120 180 ccccacccc ccgctgccgc gcgccgcccg tgacgtcaga gccccctccc agccccacat 240 ctccctcctg ctcctcctcc tcccctccgt cggtcagtca gtccgcgagg agagtccgcg gtggcggcga cggtggcgag agccgcgggg gccgtaggaa gccaaccttc cctgcttctc 300 360 cggggccctc gcccctcct ccccacaaaa tcagggatgg aggcgcctcc ccggcaccct 420 cttagcagcc ctccccagga aaagtgtccc ccctgagctc ctaacgctcc ccaacagcta 480 cccctgcccc ccacgccatg gggcccgggg ccccttttgc ccgggtgggg tggccactgc 540 cgcttctggt tgtgatggcg gcaggggtgg ctccggtgtg ggcctcccac tcccccatc 600 tecegeggee teactegegg gteeceege acceptete agaaeggege geagtgtaca tcggggcact gtttcccatg agcgggggct ggccaggggg ccaggcctgc cagcccgcgg 660 tggagatggc gctggaggac gtgaatagcc gcagggacat cctgccggac tatgagctca 720 780 ageteateca ceaegacage aagtgtgate eaggeeaage caccaagtae etatatgage tgctctacaa cgaccctatc aagatcatcc ttatgcctgg ctgcagctct gtctccacgc 840 tggtggctga ggctgctagg atgtggaacc tcattgtgct ttcctatggc tccagctcac 900

cagccctgtc aaaccggcag cgtttcccca ctttcttccg aacgcaccca tcagccacac	960
tccacaaccc tacccgcgtg aaactctttg aaaagtgggg ctggaagaag attgctacca	1020
tccagcagac cactgaggtc ttcacttcga ctctggacga cctggaggaa cgagtgaagg	1080
aggctggaat tgagattact ttccgccaga gtttcttctc agatccagct gtgcccgtca 114	40
aaaacctgaa gcgccaggat gcccgaatca tcgtgggact tttctatgag actgaagccc	1200
ggaaagtttt ttgtgaggtg tacaaggagc gtctctttgg gaagaagtac gtctggttcc 12	260
tcattgggtg gtatgctgac aattggttca agatctacga cccttctatc aactgcacag 13	20
tggatgagat gactgaggcg gtggagggcc acatcacaac tgagattgtc atgctgaatc	1380
ctgccaatac ccgcagcatt tccaacatga catcccagga atttgtggag aaactaacca	1440
agcgactgaa aagacaccct gaggagacag gaggcttcca ggaggcaccg ctggcctatg	1500
atgccatctg ggccttggca ctggccctga acaagacatc tggaggaggc ggccgttctg	1560
gtgtgcgcct ggaggacttc aactacaaca accagaccat taccgaccaa atctaccggg	1620
caatgaactc ttcgtccttt gagggtgtct ctggccatgt ggtgtttgat gccagcggct 168	0
ctcggatggc atggacgctt atcgagcagc ttcagggtgg cagctacaag aagattggct	1740
actatgacag caccaaggat gatctttcct ggtccaaaac agataaatgg attggagggt	1800
ccccccage tgaccagace etggtcatca agacatteeg etteetgtea cagaaactet	1860
ttatctccgt ctcagttctc tccagcctgg gcattgtcct agctgttgtc tgtctgtcct 1920	
ttaacatcta caactcacat gtccgttata tccagaactc acagcccaac ctgaacaacc	1980
tgactgctgt gggctgctca ctggctttag ctgctgtctt ccccctgggg ctcgatggtt 2046	0
accacattgg gaggaaccag tttcctttcg tctgccaggc ccgcctctgg ctcctgggcc 2	2100
tgggctttag tctgggctac ggttccatgt tcaccaagat ttggtgggtc cacacggtct 216	30
tcacaaagaa ggaagaaaag aaggagtgga ggaagactct ggaaccctgg aagctgtat	g 2220
ccacagtggg cctgctggtg ggcatggatg tcctcactct cgccatctgg cagatcgtgg	2280
accetetgea eeggaceatt gagacatttg eeaaggagga acctaaggaa gatattgaeg	2340
tctctattct gccccagctg gagcattgca gctccaggaa gatgaataca tggcttggca 2	2400
ttttctatgg ttacaagggg ctgctgctgc tgctgggaat cttccttgct tatgagacca 2460)
agagtgtgtc cactgagaag atcaatgatc accgggctgt gggcatggct atctacaatg	2520
tggcagtcet gtgcctcatc actgctcctg tcaccatgat tctgtccagc cagcaggatg 25	580

cagcettige etitigeetet etigeeatag titteteete etatateaet etigitigige 2640 2700 tctttgtgcc caagatgcgc aggctgatca cccgagggga atggcagtcg gaggcgcagg acaccatgaa gacagggtca tcgaccaaca acaacgagga ggagaagtcc cggctgttgg 2760 agaaggagaa ccgtgaactg gaaaagatca ttgctgagaa agaggagcgt gtctctgaac 2820 tgcgccatca actccagtct cggcagcagc tccgctcccg gcgccaccca ccgacacccc 2880 cagaaccctc tgggggcctg cccaggggac cccctgagcc ccccgaccgg cttagctgtg 2940 atgggagtcg agtgcatttg ctttataagt gagggtaggg tgagggagga caggccagta 3000 gggggaggga aagggagagg ggaagggcag gggactcagg aagcaggggg tccccatccc 3060 cagetgggaa gaacatgeta tecaatetea tetettgtaa atacatgtee eeetgtgagt 3120 tetgggetga tttgggtete teatacetet gggaaacaga cetttttete tettaetget 3180 tcatgtaatt ttgtatcacc tcttcacaat ttagttcgta cctggcttga agctgctcac 3240 tgctcacacg ctgcctcctc agcagcctca ctgcatcttt ctcttcccat gcaacaccct 3300 cttctagtta ccacggcaac ccctgcagct cctctgcctt tgtgctctgt tcctgtccag 3360 3420 caggggtctc ccaacaagtg ctctttccac cccaaagggg cctctccttt tctccactgt cataatctct ttccatctta cttgcccttc tatactttct cacatgtggc tccccctgaa 3480 ttttgettee tttgggaget cattetttte gecaaggete acatgeteet tgeetetget 3540 ctgtgcactc acgctcagca cacatgcatc ctcccctctc ctgcgtgtgc ccactgaaca 3600 3660 tgctcatgtg tacacacgct tttcccgtat gctttcttca tgttcagtca catgtgctct 3720 cgggtgccct gcattcacag ctacgtgtgc ccctctcatg gtcatgggtc tgcccttgag 3780 cgtgtttggg taggcatgtg caatttgtct agcatgctga gtcatgtctt tcctatttgc acacgtccat gtttatccat gtactttccc tgtgtaccct ccatgtacct tgtgtacttt 3840 3900 3960 tatgcacttt tccccaattc atgtttggtg gggccatcca caccctctcc ttgtcacaga 4020 atctccattt ctgctcagat tccccccatc tccattgcat tcatgtacta ccctcagtct acactcacaa tcatcttctc ccaagactgc tcccttttgt tttgtgtttt tttgagggga 4080 attaaggaaa aataagtggg ggcaggtttg gagagctgct tccagtggat agttgatgag 4140 aatcctgacc aaaggaaggc acccttgact gttgggatag acagatggac ctatggggtg 4200 ggaggtggtg tccctttcac actgtggtgt ctcttgggga aggatctccc cgaatctcaa 4260

5

10

15

20

taaaccagtg aacagtgtga ctcggcaaaa aaaaaaa 4297 (SEQ ID NO: 5)

5

10

15

20

25

En otra realización, la subunidad B1 del receptor GABA_B es codificada por una secuencia de nucleótidos que tiene la secuencia:

60 contetette coccegeet geetteett geaceteet tetteette geegggage 120 tetecetggt ecceggegee geeteettee etceeggete eccgeteece geteeegtgg 180 ctgccgccgc cccggggaag aagagacagg ggtggggttt gggggaagcg agagaggagg 240 ggagagaccc tggccaggct ggagcctgga ttcgagggga ggagggacgg gaggaggaga 300 aaggtggagg agaagggagg ggggagcggg gaggagcggc cgggcctggg gccttgaggc 360 ccggggagag ccggggagcc gggcccgcgc gccgagatgt tgctgctgct gctactggcg 420 ccactettee teegeceeee gggegeggge ggggegeaga eeeceaaege eaceteagaa 480 ggttgccaga tcatacaccc gccctgggaa gggggcatca ggtaccgggg cctgactcgg gaccaggtga aggetateaa etteetgeea gtggaetatg agattgagta tgtgtgeegg 540 600 ggggagcgcg aggtggtggg gcccaaggtc cgcaagtgcc tggccaacgg ctcctggaca 660 gatatggaca cacccagccg ctgtgtgaat cgaacgccac actcagaacg gcgcgcagtg tacatcgggg cactgtttcc catgagcggg ggctggccag ggggccaggc ctgccagccc 720 780 gcggtggaga tggcgctgga ggacgtgaat agccgcaggg acatcctgcc ggactatgag ctcaagctca tccaccacga cagcaagtgt gatccaggcc aagccaccaa gtacctatat 840 900 gagetgetet acaacgaece tateaagate atcettatge etggetgeag etetgtetee 960 acgctggtgg ctgaggctgc taggatgtgg aacctcattg tgctttccta tggctccagc 1020 tcaccagece tgtcaaaceg geagegttte eccaetttet teegaaegea eccateagee 1080 acactccaca accctacccg cgtgaaactc tttgaaaagt ggggctggaa gaagattgct 1140 accatccagc agaccactga ggtcttcact tcgactctgg acgacctgga ggaacgagtg 1200 aaggaggetg gaattgagat tacttteege cagagtttet teteagatee agetgtgeee gtcaaaaaacc tgaagcgcca ggatgcccga atcatcgtgg gacttttcta tgagactgaa 1260 1320 gcccggaaag ttttttgtga ggtgtacaag gagcgtctct ttgggaagaa gtacgtctgg ttcctcattg ggtggtatgc tgacaattgg ttcaagatct acgacccttc tatcaactgc 1380 acagtggatg agatgactga ggcggtggag ggccacatca caactgagat tgtcatgctg 1440 aatcctgcca atacccgcag catttccaac atgacatccc aggaatttgt ggagaaacta 1500

accaagcgac tgaaaagaca ccctgaggag acaggaggct tccaggaggc accgctggcc 1560
tatgatgcca tctgggcctt ggcactggcc ctgaacaaga catctggagg aggcggccgt 1620
tctggtgtgc gcctggagga cttcaactac aacaaccaga ccattaccga ccaaatctac 1680
cgggcaatga actcttcgtc ctttgagggt gtctctggcc atgtggtgtt tgatgccagc 1740
ggctctcgga tggcatggac gcttatcgag cagcttcagg gtggcagcta caagaagatt 1800
ggctactatg acagcaccaa ggatgatctt tcctggtcca aaacagataa atggattgga 1860
gggtcccccc cagctgacca gaccctggtc atcaagacat tccgcttcct gtcacagaaa 1920
ctctttatct ccgtctcagt tctctccagc ctgggcattg tcctagctgt tgtctgtctg 1980
tcctttaaca tctacaactc acatgtccgt tatatccaga actcacagcc caacctgaac 2040
aacctgactg ctgtgggctg ctcactggct ttagctgctg tcttccccct ggggctcgat 2100
ggttaccaca ttgggaggaa ccagtttcct ttcgtctgcc aggcccgcct ctggctcctg 2160
ggcctgggct ttagtctggg ctacggttcc atgttcacca agatttggtg ggtccacacg 2220
gtcttcacaa agaaggaaga aaagaaggag tggaggaaga ctctggaacc ctggaagctg 2280
tatgccacag tgggcctgct ggtgggcatg gatgtcctca ctctcgccat ctggcagatc 2340
gtggaccctc tgcaccggac cattgagaca tttgccaagg aggaacctaa ggaagatatt 2400
gacgtctcta ttctgcccca gctggagcat tgcagctcca ggaagatgaa tacatggctt 2460
ggcattttct atggttacaa ggggctgctg ctgctgctgg gaatcttcct tgcttatgag 2520
accaagagtg tgtccactga gaagatcaat gatcaccggg ctgtgggcat ggctatctac 2580
aatgtggcag teetgtgeet eateaetget eetgteacea tgattetgte eageeageag 2640
gatgcagcct ttgcctttgc ctctcttgcc atagttttct cctcctatat cactcttgtt 2700
gtgctctttg tgcccaagat gcgcaggctg atcacccgag gggaatggca gtcggaggcg 2760
caggacacca tgaagacagg gtcatcgacc aacaacaacg aggaggagaa gtcccggctg 2820
ttggagaagg agaaccgtga actggaaaag atcattgctg agaaagagga gcgtgtctct 2880
gaactgcgcc atcaactcca gtctcggcag cagctccgct cccggcgcca cccaccgaca 2940
cccccagaac cctctggggg cctgcccagg ggaccccctg agccccccga ccggcttagc 3000
tgtgatggga gtcgagtgca tttgctttat aagtgagggt agggtgaggg aggacaggcc 3060
agtaggggga gggaaaggga gaggggaagg gcaggggact caggaagcag ggggtcccca 3120
tccccagctg ggaagaacat gctatccaat ctcatctctt gtaaatacat gtccccctgt 3180

gagttctggg ctgatttggg tctctcatac ctctgggaaa cagacctttt tctctcttac 3240 tgcttcatgt aattttgtat cacctcttca caatttagtt cgtacctggc ttgaagctgc 3300 tcactgctca cacgctgcct cctcagcagc ctcactgcat ctttctcttc ccatgcaaca 3360 ccctcttcta gttaccacgg caacccctgc agctcctctg cctttgtgct ctgttcctgt 3420 ccagcagggg tctcccaaca agtgctcttt ccaccccaaa ggggcctctc cttttctcca 3480 ctgtcataat ctctttccat cttacttgcc cttctatact ttctcacatg tggctccccc 3540 tgaattttgc ttcctttggg agctcattct tttcgccaag gctcacatgc tccttgcctc 3600 tgctctgtgc actcacgctc agcacacatg catcctcccc tctcctgcgt gtgcccactg 3660 aacatgctca tgtgtacaca cgcttttccc gtatgctttc ttcatgttca gtcacatgtg 3720 3780 ctctcgggtg ccctgcattc acagctacgt gtgcccctct catggtcatg ggtctgccct tgagcgtgtt tgggtaggca tgtgcaattt gtctagcatg ctgagtcatg tctttcctat 3840 3900 ttgcacacgt ccatgtttat ccatgtactt tccctgtgta ccctccatgt accttgtgta 3960 ctttcttccc ttaaatcatg gtattcttct gacagagcca tatgtaccct accetgcaca 4020 ttgttatgca cttttcccca attcatgttt ggtggggcca tccacaccct ctccttgtca cagaatetee atttetgete agatteeece cateteeatt geatteatgt actaecetea 4080 gtctacactc acaatcatct tctcccaaga ctgctccctt ttgttttgtg tttttttgag 4140 gggaattaag gaaaaataag tgggggcagg tttggagagc tgcttccagt ggatagttga 4200 4260 tgagaatcct gaccaaagga aggcaccctt gactgttggg atagacagat ggacctatgg ggtgggaggt ggtgtccctt tcacactgtg gtgtctcttg gggaaggatc tccccgaatc 4320 4361 (SEQ ID NO: 6)

5

10

15

20

25

En otra realización, la subunidad B1 es codificada por una molécula de nucleótidos que es un homólogo de SEQ ID NOs: 4, 5 ó 6. En otra realización, la molécula de nucleótidos es una variante de SEQ ID NOs: 4, 5 ó 6. En otra realización, la molécula de nucleótidos es un isómero de SEQ ID NOs: 4, 5 ó 6. En otra realización, la molécula de nucleótidos es un fragmento de SEQ ID NOs: 4, 5 ó 6. En otra realización, la molécula de nucleótidos comprende las SEQ ID NOs: 4, 5 ó 6.

El epítopo reconocido por un anticuerpo detectado por un método de la presente invención es, en otra realización, un epítopo conformacional. En otra realización, el epítopo es un epítopo lineal. En otra realización, el epítopo es cualquier otro tipo de epítopo conocido en la técnica.

30 En una realización, la expresión ectópica de la subunidad B1 por el tejido nervioso contenido en el teratomas contribuye a romper la tolerancia inmune. En otra realización, una combinación de factores tales como un efecto adyuvante de la enfermedad viral-prodrómica que se produce en la mayoría de los sujetos, y una predisposición

genética en determinadas realizaciones, desempeñan papeles adicionales en la iniciación de la respuesta inmune sometida a ensayo en cuanto a utilizar los métodos de diagnóstico descritos en esta memoria.

En una realización, un papel patogénico de anticuerpos B1 en la encefalitis anti-GABA_B paraneoplásica se muestra por la correlación entre los síntomas de los pacientes y los títulos de anticuerpos.

- 5 En otra realización, el sujeto exhibe anticuerpos que reaccionan con un antígeno neuronal extracelular. En otra realización, el sujeto exhibe anticuerpos que reaccionan con un antígeno expuesto en la superficie celular de una neurona. En otra realización, los pacientes con anticuerpos contra antígenos extracelulares exhiben, en las condiciones utilizadas en esta memoria, una capacidad de respuesta potenciada a la terapia inmune.
- En otra realización, la presente invención proporciona un método para diagnosticar la encefalitis autoinmune en un sujeto, comprendiendo el método las etapas de someter a ensayo una muestra biológica del sujeto en cuanto a un anticuerpo contra la subunidad B1 de un receptor GABA_B, en donde la presencia de dicho anticuerpo en dicha muestra biológica indica una encefalitis autoinmune.
- En otra realización, la presente invención proporciona un método de diagnosticar un tumor asociado con una encefalitis autoinmune en un sujeto, comprendiendo el método someter a ensayo una muestra biológica del sujeto en cuanto a un anticuerpo contra la subunidad B1 de un receptor GABA_B, en donde la presencia de dicho anticuerpo indica la presencia de un tumor oculto en dicho sujeto y en donde dicho tumor es una causa de dicho encefalitis autoinmune.
- En otra realización, la presente invención proporciona un método de diagnosticar un tumor que provoca epilepsia en un sujeto, comprendiendo el método someter a ensayo una muestra biológica del sujeto en cuanto a la presencia de un anticuerpo contra la subunidad B1 de un receptor GABA_B, en donde la presencia de dicho anticuerpo indica la presencia de un tumor en dicho sujeto y en donde dicho tumor es una causa de dicha epilepsia.
 - La solicitud describe un método de diagnosticar un tumor en un sujeto que tiene una epilepsia, que comprende la etapa de: obtener una muestra biológica del sujeto; y someter a ensayo la muestra biológica del sujeto en cuanto a la presencia de un anticuerpo contra la subunidad B1 de un receptor GABA_B, en donde la presencia de dicho anticuerpo indica la presencia de un tumor en dicho sujeto, diagnosticando con ello un tumor en un sujeto que tiene una epilepsia.

25

30

- La presente solicitud describe también un método de tratar una encefalitis autoinmune en un sujeto, que comprende las etapas de: detectar un tumor asociado con una encefalitis autoinmune sometiendo a ensayo un fluido corporal del sujeto en cuanto a un anticuerpo con respecto a la subunidad B1 de un receptor GABA_B, en donde una presencia de dicho anticuerpo indica una presencia de dicho tumor en dicho sujeto y que dicho tumor es una causa de dicha encefalitis autoinmune; y tratar dicho tumor. El tumor puede ser tratado dentro de los cuatro meses de la aparición de un síntoma asociado con la encefalitis autoinmune.
- Métodos para someter a ensayo una reactividad de un fluido corporal contra antígenos neuronales son bien conocidos en la técnica. En una realización, el ensayo de inmuno-absorción ligado a enzimas (ELISA) se utiliza para someter a ensayo la presencia de un anticuerpo. En otra realización, la inmunoprecipitación se utiliza para someter a ensayo la presencia de un anticuerpo. En otra realización, la inmunoprecipitación se utiliza para someter a ensayo la presencia de un anticuerpo. En otra realización, se utiliza uno de los métodos enumerados en esta memoria. En otra realización, el tejido neuronal se fija con PFA. En otra realización, se utiliza cualquier otro método conocido en la técnica
- Métodos y kits para la detección de anticuerpos son bien conocidos en la técnica, y se describen, por ejemplo, en Ances BM et al (Treatment-responsive limbic encephalitis identified by neuropil antibodies: MRI and PET correlates. Brain 2005;128:1764-1777) y Vitaliani et al (Paraneoplastic encephalitis, psychiatric symptoms, and hypoventilation in ovarian teratoma. Ann Neurol 2005;58:594-604.).
- Métodos para diagnosticar encefalitis límbica (LE) son bien conocidos en la técnica. En otra realización, los pacientes con LE desarrollan confusión sub-aguda, irritabilidad, depresión, trastornos del sueño, convulsiones, pérdida de la memoria a corto plazo y/o demencia. En otra realización, el sustrato patológico de la LE es un trastorno inflamatorio que implica predominantemente el sistema límbico (hipocampos, amígdala y giro cingulado). En otra

realización, estudios de biopsia y autopsia demuestran infiltrados intersticiales y perivasculares de células T y, con menos frecuencia, de células B, junto con la activación microglial, la degeneración neuronal y/o gliosis. En otra realización, los infiltrados inflamatorios se encuentran en zonas distantes del sistema límbico. En otra realización, los infiltrados siguen siendo suaves y clínicamente silenciosos. En otra realización, los infiltrados se vuelven prominentes y se convierten en un trastorno conocido como encefalomielitis. Se describen métodos adicionales de diagnosticar LE, por ejemplo, en Gultekin SH et al (Paraneoplastic limbic encephalitis: neurological symptoms, immunological findings and tumour association in 50 patients. Brain 2000;123:1481-1494).

5

10

20

25

30

35

40

45

50

Los términos "homología", "homólogo", etc., cuando se usan en referencia a cualquier proteína o péptido, se refieren, en una realización, a un porcentaje de residuos aminoácidos en la secuencia candidata que son idénticos a los residuos de un polipéptido nativo correspondiente, después de alinear las secuencias e introducir huecos, si es necesario, para conseguir el porcentaje máximo de homología, y no considerar sustituciones conservativas como parte de la identidad de la secuencia. Métodos y programas de ordenador para la alineación son bien conocidos en la técnica.

La homología se determina, en otra realización, por el algoritmo de ordenador para la alineación de secuencias, por métodos bien descritos en la técnica. Por ejemplo, el análisis de algoritmo informático de homología de secuencias de ácidos nucleicos puede incluir la utilización de cualquier número de paquetes de software disponibles tales como, por ejemplo, los paquetes BLAST, DOMAIN, BEAUTY (siglas inglesas de BLAST Enhances Alignment Utility), GENPEPT y TREMBL.

En otra realización, "homología" se refiere a la identidad con una secuencia seleccionada de SEQ ID NO: 1-6 mayor que 70%. En otra realización, "homología" se refiere a la identidad con una secuencia seleccionada de SEQ ID NO: 1-6 mayor que 72%. En otra realización, "homología" se refiere a la identidad de una de SEQ ID NO: 1-6 mayor que 75%. En otra realización, "homología" se refiere a la identidad con una secuencia seleccionada de SEQ ID NO: 1-6 mayor que 78%. En otra realización, "homología" se refiere a la identidad de una de las SEQ ID NO: 1-6 mayor que 80%. En otra realización, "homología" se refiere a la identidad de una de las SEQ ID NO: 1-6 mayor que 82%. En otra realización, "homología" se refiere a la identidad de una secuencia seleccionada de SEQ ID NO: 1-6 mayor que 83%. En otra realización, "homología" se refiere a la identidad de una de las SEQ ID NO: 1-6 mayor que 85%. En otra realización, "homología" se refiere a la identidad de una de las SEQ ID NO: 1-6 mayor que 87%. En otra realización, "homología" se refiere a la identidad con una secuencia seleccionada de SEQ ID NO: 1-6 mayor que 88%. En otra realización, "homología" se refiere a la identidad con una de las SEQ ID NO: 1-6 mayor que 90%. En otra realización, "homología" se refiere a la identidad con una de las SEQ ID NO: 1-6 mayor que 92%. En otra realización, "homología" se refiere a la identidad con una de las SEQ ID NO: 1-6 mayor que 93%. En otra realización, "homología" se refiere a la identidad con una de las SEQ ID NO: 1-6 mayor que 95%. En otra realización, "homología" se refiere a la identidad con una de las SEQ ID NO: 1-6 mayor que 96%. En otra realización, "homología" se refiere a la identidad con una de las SEQ ID NO: 1-6 mayor que 97%. En otra realización, "homología" se refiere a la identidad con una de las SEQ ID NO: 1-6 mayor que 98%. En otra realización, "homología" se refiere a la identidad con una de las SEQ ID NO: 1-6 mayor que 99%. En otra realización, "homología" se refiere a la identidad con una de las SEQ ID NO: 1-6 de 100%.

En otra realización, la homología se determina mediante la determinación de la hibridación de la secuencia candidato, cuyos métodos se describen bien en la técnica (véase, por ejemplo, , "Nucleic Acid Hybridization" Hames, B. D., e Higgins S. J., Comps. (1985); Sambrook et al., 2001, Molecular Cloning, A Laboratory Manual, Cold Spring Harbor Press, N.Y.; y Ausubel et al., 1989, Current Protocols in Molecular Biology, Green Publishing Associates and Wiley Interscience, N.Y). En otras realizaciones, los métodos de hibridación se llevan a cabo bajo condiciones de moderadas a rigurosas, con el complemento de un ADN que codifica un péptido caspasa nativo. Siendo las condiciones de hibridación, por ejemplo, la incubación durante una noche a 42 °C en una disolución que comprende: 10-20% de formamida, 5 X SSC (NaCl 150 mM, citrato trisódico 15 mM), fosfato de sodio 50 mM (pH 7,6), solución 5 X Denhardt, 10% sulfato de dextrano y 20 µg/ml de ADN de esperma de salmón cortado, desnaturalizado.

La homología de la proteína y/o péptido de para cualquier secuencia de aminoácidos enumerada en esta memoria se determina, en otra realización, por métodos bien descritos en la técnica, incluyendo análisis de inmunotransferencia, o por medio de análisis de algoritmo por ordenador de secuencias de aminoácidos, utilizando cualquiera de un cierto número de paquetes de software disponibles, a través de métodos establecidos. Algunos de estos paquetes incluyen los paquetes FASTA, BLAST, MPsrch o Scanps y, en otra realización, emplean el uso de los algoritmos de Smith y Waterman, y/o alineaciones globales/locales o BLOCKS para el análisis, por ejemplo.

[001] Tal como se utiliza en esta memoria, "ácidos nucleicos" o "nucleótido" se refiere a una cadena de al menos dos combinaciones de base-azúcar-fosfato. La expresión o el término incluye, en una realización, ADN y ARN. "Nucleótidos" se refiere, en una realización, a las unidades monoméricas de polímeros de ácidos nucleicos. ARN está, en una realización, en forma de un ARNt (ARN de transferencia), ARNnp (ARN nuclear pequeño), ARNr (ARN ribosomal), ARNm (ARN mensajero), ARN anti-sentido, ARN inhibidor pequeño (ARNip), microARN (miARN) y ribozimas. El uso de ARNip y miARN se ha descrito (Caudy AA et al, Genes & Devel 16: 2491-96, y las referencias citadas en el mismo). ADN puede estar, en otras realizaciones, en forma de ADN plasmídico, ADN viral, ADN lineal o ADN cromosómico, o derivados de estos grupos. Además, estas formas de ADN y ARN pueden ser de cadena sencilla, doble, triple o cuádruple. El término también incluye, en otra realización, ácidos nucleicos artificiales que contienen otros tipos de cadenas principales, pero las mismas bases. En una realización, el ácido nucleico artificial es un ANP (ácido nucleico peptídico). El ANP contiene cadenas principales peptídicos y bases de nucleótidos y son capaces de unirse, en una realización, tanto a moléculas de ADN como de ARN. En otra realización, el nucleótido es oxetano modificado. En otra realización, el nucleótido es modificado por sustitución de uno o más enlaces fosfodiéster con un enlace fosforotioato. En otra realización, el ácido nucleico artificial contiene cualquier otra variante de la cadena principal de fosfato de ácidos nucleicos nativos conocidos en la técnica. El uso de ácidos nucleicos fosforotioato y ANP son conocidos por los expertos en la técnica, y se describen en, por ejemplo, en Neilsen PE, Curr Opin Struct Biol 9:353-57: v Raz NK et al Biochem Biophys Res Commun. 297:1075-84. La producción v uso de ácidos nucleicos se conoce por los expertos en la técnica y se describe, por ejemplo, en Molecular Cloning, (2001), Sambrook y Russell, comps. y Methods in Enzymology: Methods for molecular cloning in eukaryotic cells (2003) Purchio y G. C. Fareed.

EJEMPLOS

5

10

15

20

50

Ejemplo 1: El Receptor GABA_B es un Nuevo Auto-antígeno de Encefalitis Límbica Grave con Convulsiones Prominentes

Materiales y Métodos

Pacientes y Controles. Los autores de la presente solicitud estudiaron 410 pacientes de encefalitis de la que se sospechaba que era paraneoplásica o estaba inmuno-mediada contra antígenos de la superficie de células neuronales. Los anticuerpos fueron identificados en 357: 275 tenían anticuerpos contra la subunidad NR1 del NMDAR, 27 canales de potasio sincronizados en tensión (VGKC), 19 ácido glutámico descarboxilasa (GAD), 15 subunidades GluR1/2 del AMPAR, 11 MA2, 8 HUD y 2 contra CRMP5. De los 53 pacientes restantes, 15 tenían suero o anticuerpos CSF contra los antígenos de la superficie de células neuronales predominantemente visibles en el neurópila de cerebro de rata, mostrando todos una inmunotinción similar. Estas características y la respuesta drástica al tratamiento del caso índice (paciente nº 1) se centraron en el estudio actual en estos 15 pacientes. La información se obtuvo de los autores o fue proporcionada por los médicos tratantes. CSF o suero de 104 pacientes, incluidos 91 seleccionados al azar de los anteriores y 13 con síndromes asociados con el anticuerpo GAD sirvieron como controles.

Tejido animal, anticuerpos e inmunohistoquímica en el cerebro de rata. Ratas Wistar hembras fueron sacrificadas y se las extrajo el cerebro, se seccionaron sagitalmente, se sumergieron en paraformaldehído al 4% a 4°C durante 2 horas, se crioprecipitaron con sacarosa al 40% durante 24 horas, y se congelaron rápidamente en isopentano enfriado rápidamente.

Inmunohistoquímica en el cerebro de rata y tejido humano. Tejido embebido en parafina se desparafinó y los antígenos se recuperaron. Secciones de tejido de siete micrómetros de espesor (o 4 μm de parafina) congelados se incubaron en serie con H₂O₂ al 0,3% durante 20 minutos, suero de cabra al 10% durante 1 hora, y suero de paciente o control (1:250), CSF (1:10) o un anticuerpo policlonal de cobaya contra un epítopo intracelular del receptor GABA_B (1:200; Invitrogen, Carlsbad, CA) a 4°C durante la noche. Después de utilizar los anticuerpos secundarios apropiados (todos 1:2.000), las reactividades fueron desarrolladas con el método de avidina-biotina-peroxidasa. Los resultados se fotografiaron con un microscopio de fluorescencia utilizando el software Zeiss Axiovision (Zeiss, Thornwood, NY).

La inmunohistoquímica con tejido humano (tumores SCLC) utilizó IgG purificada a partir de sueros de los pacientes y se marcó con biotina. En estos estudios no se necesitaba anticuerpo secundario, evitando el fondo provocado por IgG humana irrelevante presente en el tejido.

La inmunohistoquímica en secciones congeladas de cerebro de rata se realizó con suero de pacientes o control (1:250), CSF (1:10), o anticuerpo GABA_{B1} utilizando un método estándar de avidina-biotina peroxidasa, o doble inmunomarcaje con suero de los pacientes o CSF y el anticuerpo GABA_{B1}, seguido de los anticuerpos secundarios Alexa Fluor apropiados.

Inmunocitoquímica en cultivos neuronales y células HEK293. Se prepararon cultivos neuronales de hipocampo de rata. Neuronas vivas cultivadas en cubreobjetos se incubaron durante 1 hora a 37°C con suero del paciente o control (dilución final 1:200) o CSF (1:10). Después de retirar los medios y de un extenso lavado con solución salina tamponada con fosfato (PBS), las neuronas se fijaron con paraformaldehído al 4%, se permeabilizaron con Triton X-100 al 0,1% y se inmuno-marcaron una o dos veces con un anticuerpo receptor GABA_{B1} policional de cobaya (1:200), seguido por los correspondientes anticuerpos secundarios Alexa Fluor diluidos en la relación 1:2000 (Molecular Probes, Eugene, OR). Los resultados se fotografiaron con un microscopio de fluorescencia utilizando el software Zeiss Axiovision (Zeiss, Thornwood, NY).

Células HEK293 se transfectaron con plásmidos que contenían subunidades GABA_{B1} o GABA_{B2} de roedores del receptor GABA_B o plásmidos sin inserción (control), utilizando un método previamente reseñado. En otros experimentos, las células se co-transfectaron con GABA_{B1} y GABA_{B2}en relaciones equimolares. Las células fueron cultivadas durante 24 horas después de la transfección antes de la evaluación. Las células transfectadas se fijaron en paraformaldehído al 4%, se permeabilizaron con Triton X-100 al 0,1% y después se incubaron con suero de los pacientes (1:200) o CSF (100%) y el anticuerpo policlonal del receptor GABA_{B1} de cobaya indicado (1:20.000) o un anticuerpo policlonal del receptor GABA_{B2} (1:10.000, generada por el Dr. Moss) durante la noche a 4°C, se lavaron en PBS y se incubaron con los anticuerpos Alexa Fluor secundarios apropiados (1:2.000; Molecular Probes). Los resultados se fotografiaron con un microscopio de fluorescencia utilizando el software Zeiss Axiovision (Zeiss, Thornwood, NY).

15

20

30

35

40

45

50

Los títulos de anticuerpos se determinaron utilizando células HEK293 que expresan GABA_{B1/B2} incubadas con diluciones en serie de suero y CSF, comenzando a una dilución de 1/2.

Subtipos de IgG de anticuerpos de pacientes se determinaron en suero o CSF utilizando las células HEK293 transfectadas indicadas, y anticuerpos anti-humanos secundarios contra IgG1, IgG2, IgG3 e IgG4 (todos diluidos en la relación 1:200; Sigma, St. Louis, MO) tal como se reseñó.

Inmunoprecipitación e inmunotransferencia. Neuronas vivas, obtenidas como antes, se cultivaron en pocillos de 100 mm (densidad 10⁶ neuronas/pocillo) y se incubaron a 37°C con suero de paciente filtrada (diluido en la relación 1:500) durante 1 hora. A continuación, las neuronas se lavaron con PBS, se lisaron con tampón (NaCl 150 mM, EDTA 1 mM, tris(hidroximetil)aminometano [Tris]-HCl 100 mM, ácido desoxicolato al 0,5%, Triton X-100 al 1% [Laboratorios de Sigma., St. Louis, MO], pH 7,5) que contiene inhibidores de proteasa (P8340, Laboratorios de Sigma), y se centrifugó a 16,1 x 10³ g durante 20 minutos a 4°C. El sobrenadante se retuvo y se incubó con perlas de proteína A/G agarosa (20423; Pierce, Rockford, IL) durante la noche a 4°C, se centrifugó, y luego se lavó el sedimento que contenía las perlas con anticuerpos de los pacientes unidos al antígeno de la superficie de la célula diana con PBS, se dividió en partes alícuotas y se mantuvo a -80°C. Una parte alícuota de este sedimento se resuspendió en tampón de Laemmli, se hirvió durante 10 minutos, se separó en una electroforesis en gel de poliacrilamida con dodecilsulfato de sodio al 4 a 15%, y las proteínas visualizaron con tinción con gel EZBlue (G1041; Laboratorios de Sigma). Bandas de proteínas distintivas precipitadas por el suero del paciente se escindieron del gel y se analizaron utilizando espectrometría de masas en la instalación proteómica de la Universidad de Pennsylvania. Después de la caracterización del antígeno, partes alícuotas congeladas de los sedimentos indicados se separaron en una electroforesis en gel de poliacrilamida con dodecilsulfato de sodio como se ha descrito anteriormente, se transfirieron a nitrocelulosa (162-0115; Bio-Rad, Hercules, CA) y se transfirieron con los anticuerpos policionales indicados contra subunidades del receptor GABA_{B1} (1:2000) o GABA_{B2} (1:1000). La reactividad se desarrolló utilizando los anticuerpos secundarios biotinilados apropiados (1:2000) y el método de avidina-biotina-peroxidasa, diaminobencidina.

Análisis cuantitativo de racimos del receptor GABA_B utilizando microscopía confocal. Neuronas del hipocampo de rata vivas de catorce a 21 días in vitro (div) fueron incubadas con el CSF de pacientes (dilución 1:30 en medio Neuro-Basal B27; Gibco, Carlsbad, CA) durante 24 horas, se lavaron, se fijaron en paraformaldehído (paraformaldehído al 4%, sacarosa al 4% en PBS) durante 5 minutos, se permeabilizaron con Triton X-100 al 0,25% durante 10 minutos y se bloquearon con suero de cabra normal al 5% durante 1 hora. Las neuronas se incubaron a continuación con un anticuerpo policlonal de cobaya contra un epítopo intracelular del receptor GABA_B (1:1000; Invitrogen) y un anticuerpo monoclonal de ratón contra el marcador presináptico Bassoon (1:200; Stressgen,

Victoria, Columbia Británica, Canadá), se lavaron y se incubaron con los anticuerpos secundarios conjugados de forma fluorescente apropiados (1:1000, Molecular Probes).

Las imágenes se obtuvieron utilizando un microscopio de escaneo láser confocal (Leica TCS SP2; Leica, Deerfield, IL). Para cada una de las imágenes, los niveles de luz láser y la ganancia del detector y el desplazamiento se ajustaron de manera que no se saturaran valores de los píxeles. Imágenes de neuronas marcadas se almacenaron digitalmente para su posterior análisis. Las imágenes fueron umbraladas, se seleccionaron las áreas de interés que contenían dendritas, y se determinó el número de racimos individuales a lo largo de las dendritas neuronales utilizando software interactivo (ImageJ; Research Services Branch, National Institute of Mental Health, Bethesda, MD). La co-localización de racimos marcados con los anticuerpos de pacientes, anticuerpos comerciales GABA_B y el marcador sináptico Bassoon se cuantificó utilizando un software Macro implementado en ImageJ.

Resultados

5

10

15

20

25

30

35

Paciente Índice (Caso nº 1 en las tablas): Una mujer de 60 años de edad fue hospitalizada debido a confusión, problemas de memoria y la nueva aparición generalizadas convulsiones tónico-clónicas y complejas parciales refractarias al tratamiento. En el examen, se encontraba desorientada en cuanto al lugar y la hora, y tenía muy mala concentración y memoria a corto plazo. Aparte de actividades sacádicos con una mirada lateral, no se observaron anomalías en los nervios craneales. Fuerza, sensibilidad, reflejos y coordinación eran normales. La MRI del cerebro reveló una señal incrementada de la recuperación de inversión atenuada de fluido (FLAIR) del lóbulo temporal medial bilateral compatible con la encefalitis límbica (Figura 1a). El EEG mostró una ralentización difusa y descargas epileptiformes bilaterales periódicas lateralizadas (PLEDS). El CSF demostró 9 leucocitos (WBC)/µl, concentración total de proteínas 35 mg/dL, glucosa, 71 mg/dL y bandas oligoclonales y citología negativas. La PCR para el virus herpes simplex, el virus del Nilo Occidental y la encefalitis de St. Louis fueron negativos. Se observó una hiponatremia (119 mEq/L) debida al síndrome de una secreción inapropiada de la hormona antidiurética (SIADH). El análisis del suero y el LCR de anticuerpos paraneoplásicos eran negativos. CT y fluorodeoxiglucosa (FDG)-PET combinado reveló linfoadenopatías mediastínicas, que demostraron por biopsia ser cáncer de pulmón de células pequeñas (SCLC). La paciente fue tratada con antiepilépticos (levetiracetam, ácido valproico, fenitoína) e inmunoterapia (inmunoglobulinas intravenosas [IVIg], corticosteroides), seguido inmediatamente por la quimioterapia con cisplatino y etopósido. Hubo una mejora rápida y drástica de la memoria a corto plazo y la cognición, y las convulsiones se resolvieron por completo. Después de la compleción de estos tratamientos, el paciente recibió radioterapia total del cerebro profiláctica estándar. La MRI del cerebro repetida un mes después de la presentación de los síntomas mostró una mejoría de la señal FLAIR anormal (Figura 1b); MRIs posteriores 3 y 9 meses más tarde se mantuvieron sin cambios, excepto por la atrofia general progresiva, probablemente secundarios a la radiación (Figura 1c, d). Un año después de la presentación de los síntomas, el paciente tenía sólo leves déficits de memoria y cognitivos y vivía de forma independiente.

Detección de anticuerpos contra un nuevo auto-antígeno neuronal de la superficie celular. Análisis de suero y CSF del caso índice y 14 pacientes adicionales de la selección indicada de los casos mostró reactividad con el neurópilo de cerebro de rata (Figura 2), en un patrón diferente de la descrita con la subunidad NR1 del NMDAR, subunidades GluR1/2 del AMPAR, o anticuerpos VGKC. Para determinar si los anticuerpos reaccionaban con epítopos extracelulares, cultivos no fijados y no permeabilizados de neuronas del hipocampo de rata se incubaron con suero o CSF de los pacientes, mostrando una reactividad intensa con la superficie celular (Figura 3a).

40 El antígeno de la superficie de la célula neuronal es el receptor GABAB metabotrópico. Para identificar el antígeno de la superficie celular, neuronas del hipocampo de rata vivas fueron incubadas con anticuerpos de los pacientes y se inmunoprecipitó el antígeno diana. Estos estudios produjeron dos bandas de proteínas de aproximadamente 105 y 90 kDa (Figura 3b) que se analizaron por espectrometría de masas demostrando secuencias derivadas de la subunidad B1 del receptor GABAB metabotrópico. Debido a que el receptor GABAB es un heterodímero compuesto por dos subunidades, B1 y B2, ambas con un peso molecular similar, los autores de la invención examinaron seguidamente por inmunotransferencia y anticuerpos policionales específicos para cada una de las subunidades para determinar si los anticuerpos de los pacientes habían precipitado ambas subunidades. Estos estudios confirmaron que los anticuerpos de pacientes co-precipitaban subunidades B1 y B2 del receptor GABAB (Figura 3c).

La especificidad de los anticuerpos de pacientes para los receptores GABA_B se determinó por el triple inmunomarcaje de neuronas cultivadas (anticuerpos del paciente; un anticuerpo policional de cobaya a un epítopo del receptor GABA_{B1} intracelular no competidor, y un marcador de pre-sináptico [Bassoon]), y el grado de co-localización cuantificado por microscopía confocal, tal como se informó (Figura 4). La unión de anticuerpos a racimos de receptores GABA_B se analizó en las dendritas de 24 neuronas en 4 cubreobjetos separados. Esto mostró que 103±0,8% de los racimos de receptores GABA_B marcados con anticuerpos de pacientes se co-localizaban con racimos marcados por el anticuerpo policlonal del receptor GABA_B de cobaya, y 107±0,7% de los racimos de receptores marcados con anticuerpos de cobaya se co-localizaban con los marcados por los anticuerpos de los pacientes anticuerpos (se producen cifras ligeramente superiores a 100% debido al solapamiento de unos pocos racimos marcados por los anticuerpos de pacientes con dos racimos marcados por los anticuerpos de cobaya y viceversa). Estos resultados indican que esencialmente todos los anticuerpos de la superficie celular anti-neuronales de pacientes fijan como objetivo los receptores GABA_B y que virtualmente todos los receptores GABA_B neuronales son marcados por los anticuerpos de los pacientes.

Para determinar cuál de las dos subunidades del receptor GABA_B contenía el epítopo diana, células HEK293 se transfectaron con GABA_{B1}, GABA_{B2}, o ambas subunidades del receptor y se sometieron a ensayo inmunocitoquímicamente con anticuerpos de los pacientes. Todos los 15 pacientes tenían anticuerpos de suero o CSF que reaccionaban específicamente con la subunidad del receptor GABA_{B1} (Figura 5) y uno tenía reactividad adicional con la subunidad GABA_{B2}. Estos hallazgos indican que las células HEK293 que expresan subunidades del receptor GABA_{B1/B2} o GABA_{B1} proporcionan un sustrato para una prueba de diagnóstico inequívoca. Estudios similares con los 104 casos de control demostraron que dos pacientes, ambos con síndromes atribuidos a autoinmunidad GAD, tenían anticuerpos contra el receptor GABA_{B1} en títulos bajos (CSF 1:2, suero negativo), no visibles con la inmunohistoquímica del cerebro.

Se realizó un análisis de los subtipos de anticuerpos IgG en suero o CSF de 6 pacientes seleccionados al azar. Todos tenían anticuerpos IgG1 GABA_{B1}; dos tenían IgG3 adicional y uno anticuerpos IgG2.

Síntomas neurológicos. La información demográfica, características clínicas, el tratamiento y los resultados se muestran en las Tablas 1 y 2. Entre los 15 pacientes con alto título de anticuerpos del receptor GABA_{B1} y encefalitis límbica (casos nº 1-15), la edad mediana era de 62 años (intervalo, 24-75); 8 eran hombres. Trece pacientes presentaron una aparición sub-aguda de convulsiones, confusión y pérdida de memoria grave, y en dos (nºs 3 y 13) el déficit de memoria y confusión precedieron a las convulsiones en unas pocas semanas. La mayoría de las convulsiones tenían un inicio del lóbulo temporal con generalización secundaria, y tres pacientes tenían un estado epiléptico. Diez pacientes tenían una señal incrementada de FLAIR/T2 unilateral o bilateral del lóbulo temporal medial consistente con la encefalitis límbica, 1 tenía una pequeña zona de señal FLAIR incrementada en el cuerpo calloso y 4 tenían una MRI normal del cerebro. El CSF era anormal en 9 de 10 pacientes de los que se disponía de datos. La anomalía más común era la pleocitosis linfocítica en 8 pacientes. Estaban disponibles estudios de EEG de 12 pacientes; 9 mostraron convulsiones del lóbulo temporal, descargas epileptiformes o ralentización del lóbulo temporal; 2 tenían una ralentización generalizada y 1 era normal. Varios tipos de convulsiones se observaron en el EEG, incluyendo convulsiones parciales complejas (con frecuencia de aparición del lóbulo temporal), estado epiléptico y convulsiones sub-clínicas.

Los dos casos control con un título bajo de anticuerpos GABA_{B1} (casos nºs 16 y 17 en las Tablas 1 y 2) desarrollaron diferentes síndromes en asociación con anticuerpos GAD de alto título en el suero y el CSF. Ninguno de estos 2 pacientes desarrolló convulsiones o disfunción límbica. Uno tenía ataxia cerebelosa progresiva, y el otro inestabilidad de la marcha, rigidez muscular, rigidez, mioclono y disartria, categorizados como encefalomielitis con rigidez.

40 Tabla 1: Características demográficas y síntomas

5

20

25

Caso Nº.	Sexo/Edad (años)	Tumor	Síntomas que Presentan	Otros rasgos clínico- inmunológicos
08- 299	F/60	SCLC	Aparición sub-aguda de convulsiones parciales complejas, confusión, deterioro de la memoria	SIADH

06- 165	M/66	SCLC	Aparición sub-aguda de convulsiones parciales complejas, confusión, déficit de	Anticuerpos VGCC de tipo
06- 235	F/53	SCLC	memoria, problemas de comportamiento Déficits de memoria rápidamente progresivos, hábitos anormales de sueño, seguidos de convulsiones frecuentes (focales, secundariamente generalizadas), confusión, disminución del estado mental que conduce a coma	Erupción prurítica con debilidad inicial
08- 017	M/75	Adenopatía mediastinal	Aparición sub-aguda de convulsiones, psicosis, encefalitis. Progresan rápidamente a la muerte antes de un diagnóstico o tratamiento definitivo.	Estado respiratorio deficiente, entubación rechazada
08- 152	M/68	Tumor neuroendocrino del pulmón	Aparición sub-aguda de convulsiones, estado epiléptico, confusión	-
08- 623	F/43	CT y FDG/PET negativo	Aparición sub-aguda de convulsiones tónico-clónicas secundariamente generalizadas, comportamientos bizarros, delirios, paranoia, deterioro de la memoria.	Anticuerpos VGCC de tipo N
09- 086	M/69	CT y FDG/PET negativo	Aparición sub-aguda de convulsiones del lóbulo temporal derecho, estado epiléptico, encefalopatía grave, déficit de memoria grave, confusión	Historial previo de trastorno bipolar
07- 305	F/24	CT y FDG/PET negativo	Aparición sub-aguda de convulsiones, estado epiléptico, confusión, fiebre. Entubación y ventilación requeridas debido al deficiente nivel de conciencia y protección de las vías respiratorias	Anticuerpos VGCC de tipo N
06- 026	M/63	CT y FDG/PET negativo	Aparición sub-aguda de convulsiones, déficit de memoria, paranoia, psicosis, alucinaciones gustatorias	Anticuerpos TPO y GAD; hipotiroidismo y diabetes mellitus tipo 2
08- 278	F/45	Masa ovárica benigna	Aparición sub-aguda de convulsiones complejas parciales y generalizadas y déficits de memoria a corto plazo	-
09- 176	F/62	CT pecho, abdomen, pelvis negativo	Aparición sub-aguda de convulsiones generalizadas confusión, nivel disminuido de conciencia, afasia fluente, movimientos orolinguales anormales.	-
07- 004	M/29	Ninguno	Aparición sub-aguda de epilepsia del lóbulo temporal izquierdo; convulsiones refractarias tónico-clónicas generalizadas. Sin deterioro cognitivo.	Convulsiones en la infancia
09- 083	F/30	CT y FDG/PET negativo	Historial de 3 meses de déficit grave de la memoria, seguido de convulsiones (generalizadas, subclínicas)	Anticuerpos GAD sin endocrinopatía

01- 696 Graus	M/69	SCLC	Aparición sub-aguda de convulsiones tónico-clónicas generalizadas, déficit de memoria a corto plazo empeorado	Déficit de memoria a corto plazo suave de historial pasado de hemorragia subaracnoidea
07- 1051 Graus	M/70	SCLC	Aparición sub-aguda de convulsiones (motoras parciales y generalizadas). Pérdida de memoria grave a corto plazo, confabulación, alucinaciones visuales, desorientación, agitación	Anticuerpos GAD, TPO y SOX1. Sin endocrinopatía
08- 114	F/63	CT y FDG/PET negativo	Progreso de 1 año de ataxia cerebelosa. Estado mental normal, sin convulsiones, sin espasmos musculares o rigidez	Anticuerpos GAD, aparición en adultos de diabetes mellitus insulino- dependiente
08- 398	F/61	CT y FDG/PET negativo	Historial de 6 semanas de perturbación de los andares, mioclono y rigidez de la extremidad inferior; disfagia, disartria, nistagmo, parálisis de la mirada a la izquierda. Sin convulsiones o síntomas cognitivos	Anticuerpos GAD, TPO y tiroglobulina (disfunción suave del tiroides)

SCLC: cáncer de pulmón de células pequeñas; FDG/PET: Fluoro-desoxiglucosa/tomografía de emisión de positrones; SIADH: síndrome de hormona anti-diurética inapropiada; GAD: ácido glutámico decarboxilasa; TPO: tiroide peroxidasa; VGCC: canales de calcio sincronizados en tensión.

Tabla 2: Ensayos de diagnóstico, tratamiento y resultados.

Caso Nº	MRI	CSF	Títulos de CSF en suero	Lista cronológica de tratamientos	Resultado (duración del seguimiento)
08- 299	Señal FLAIR/T2 incrementada en lóbulos temporales mediales	9 WBC/ μL; proteína 35; sin OCBs	S, 1:640 CSF, 1:160	IVIg, corticosteroides, quimioterapia	Mejoría sustancial. Déficit de memoria residual suave a corto plazo. Vive de forma independiente. Libre de convulsiones (12 meses)
06- 165	Normal	Normal	S, 1:1280 CSF, n/a	Corticosteroides, IVIg, quimioterapia	Mejoría sustancial. Falleció de enfermedad metastásica (15 meses)
06- 235	Señal FLAIR/T2 incrementada en lóbulos temporales mediales	n/a	S, 1:160 CSF, n/a	Extirpación del tumor (lobectomía) IVIg	Mejoría parcial después de la extirpación del tumor e IVIg (4 meses); perdido para el seguimiento.
08- 017	Normal	n/a	S, 1:2560 CSF, 1:640	Ninguna	Falleció pronto tras la presentación de insuficiencia respiratoria rápidamente progresiva

	1			I	
08- 152	Señal FLAIR/T2 incrementada en lóbulos temporales mediales	n/a	S, 1:1280 CSF, n/a	De apoyo	Falleció 6 meses después de la presentación de los síntomas. Anticuerpos GABA _B detectados después de la muerte del paciente en suero archivado
08- 623	Señal FLAIR/T2 incrementada en pequeña zona del cuerpo calloso	95 WBC/ µL; proteína 104; índice de IgG incrementado	S, n/a CSF, 1:640	Corticosteroides, micofenilato mofetilo	Mejoría sustancial. Vive de forma independiente. Libre de convulsiones (9 meses)
09- 086	Señal FLAIR/T2 incrementada en lóbulo temporal mesial	n/a	S, n/a CSF, 1:640	Corticosteroides, intercambio de plasma	Respuesta inicial sustancial a corticosteroides. Recayó 1 mes más tarde. Falleció después de 5 meses en la UCI con convulsiones refractarias, estado epiléptico y complicaciones sistémicas.
07- 305	Señal FLAIR/T2 incrementada en lóbulos temporales mediales	19 WBC/ µL; proteína 46	S, 1:5120 CSF, 1:2560	Corticosteroides, intercambio de plasma	Mejoría sustancial. Déficit de memoria a corto plazo residual suave. Libre de convulsiones (3 meses)
06- 026	Señal FLAIR/T2 incrementada en lóbulos temporales mediales	75 WBC/ µL; proteína 26 ; + OCBs	S, negativa CSF, 1:4	Corticosteroides	Recuperación completa (41 meses)
08- 278	Señal FLAIR/T2 incrementada en lóbulos temporales mediales	81 WBC, proteína 30	S, 10,240 CSF, n/a	Corticosteroides	Mejoría sustancial. Déficit de memoria a corto plazo residual. Vive de forma independiente. Libre de convulsiones (72 meses)
09- 176	Normal	20 WBC/ µL; proteína 22	S, 1:40 CSF, 1:40	Corticosteroides	Recuperación completa (6 meses)
07- 004	Señal FLAIR/T2 incrementada en lóbulo temporal medial izquierdo e insula	950 WBC/ μL; + OCB	S, negativo CSF, 1:10	Sintomático	Biopsia del lóbulo temporal 20 meses después de la presentación de los síntomas muestra astrocitosis reactiva, sin inflamación. Sin seguimiento disponible tras la biopsia.
09- 083	Señal FLAIR/T2 incrementada en lóbulos temporales mediales	4 WBC/ μL; proteína 109; 6 OCBs	S, negativo CSF, 1:4	Corticosteroides	Recuperación completa, excepto por breves episodios infrecuentes de alucinaciones visuales (10 meses)

01- 696 Graus	Señal FLAIR/T2 incrementada en lóbulo temporal medial izquierdo	Traumático; citología negativa.		Quimioterapia	Déficit de memoria residual a corto plazo; convulsiones controladas; falleció de sepsis (3 meses)
07- 1051 Graus	Normal	0 WBC/ μL; proteína 95	S, n/a CSF, 1:640	IVIg, corticosteroides, quimioterapia	Convulsiones respondían a anti-epilépticos; persistía déficit de memoria; falleció de tratamiento relacionado con el cáncer (2 meses)
08- 114	Normal	3 WBC/ µL; proteína 78; 1 OCB	S, negativo CSF, 1:2	IVIg	Sin convulsiones ni déficits cognitivos. Respuesta limitada de ataxia cerebelosa a IVIg (12 meses)
08- 398	Normal	2 WBC/ μL; Proteína 52; + OCBs	S, negativo CSF, 1:2	IVIg, corticosteroides	Sin convulsiones ni déficits cognitivos. Recuperación completa después de esteroides e IVIg (12 meses)

WBC: leucocitos (normal <4 μ l), FLAIR: recuperación de inversión atenuada de fluido; n/a: no disponible; IVIg: inmunoglobulina intravenosa. UCI: unidad de cuidados intensivos.

Otros auto-anticuerpos. Además de los anticuerpos de GABA_B, 6 de 15 pacientes (40%) tenían anticuerpos contra uno o más de los siguientes: 3 con anticuerpos GAD, 2 con anticuerpos de peroxidasa tiroidea (TPO), 3 con anticuerpos VGCC de tipo N y 1 con anticuerpo SOX1. Sólo 1 de 3 pacientes con anticuerpos GAD tenía endocrinopatía y 1 de los 3 pacientes con anticuerpos VGCC tenía un SCLC. El paciente con anticuerpos SOX1 tenía un SCLC.

Tumores Asociados. Siete pacientes tuvieron un nódulo pulmonar o adenopatía mediastinal, con confirmación patológica de SCLC o tumor neuroendocrino en 6. En todos los casos se detectó el tumor en el momento de presentación de síntomas neurológicos. Dado que la mayoría de los tumores de pulmón fueron diagnosticados por biopsia con aguja, no había tejido disponible para el análisis de la expresión del receptor GABA_B. Sin embargo, 3 de 4 SCLCs de casos control (sin anticuerpos ni encefalitis) mostraron reactividad con un anticuerpo policional de cobaya a receptor GABA_{B1} e IgG biotinilada de los pacientes, lo que sugiere que estos receptores son expresados por SCLC.

10

15 Tratamiento y Resultados. Nueve pacientes (60%) tuvieron respuesta neurológica sustancial a la inmunoterapia o tratamiento del tumor. El seguimiento mediano de estos pacientes es de 10 meses (3-72); 1 murió posteriormente de la progresión del tumor (15 meses) y 1 se perdió para el seguimiento (4 meses). Seis pacientes no mostraron mejoría neurológica sostenida; tres (nº 4, 14, 15 en las Tablas 1 y 2) falleció poco después de la presentación del trastorno como resultado del tumor o complicaciones relacionadas con la quimioterapia, y los otros tres fueron diagnosticados con anticuerpos del receptor GABA_B después de la muerte (nºs 5 y 7) o se perdieron para el seguimiento (nº 12). En los tres últimos casos, un proceso autoinmune se consideró sólo en el paciente nº 7 quien recibió corticosteroides e intercambio de plasma; los otros dos pacientes no recibieron inmunoterapia. En general, con exclusión de los dos pacientes que se perdieron para el seguimiento, la mejora neurológica se correlacionaba con un control rápido del tumor o la inmunoterapia (test exacto de Fisher = 0,003).

Los autores de la presente solicitud han descubierto una nueva forma de encefalitis autoinmune que se asocia con anticuerpos frente a epítopos extracelulares del receptor GABA_B y es potencialmente sensible al tratamiento. En base a los hallazgos clínicos, de MRI y EEG, las regiones del cerebro más afectadas son los hipocampos y los lóbulos temporales. Por lo tanto, no es sorprendente que el síndrome resultante sea indistinguible de otros tipos de encefalitis límbica, aunque algunas de las características clínicas e inmunológicas pueden sugerir una autoinmunidad del receptor GABA_B. Un hallazgo notable es el desarrollo de convulsiones graves y prominentes en todos los pacientes, que representan la principal razón de la atención médica o el ingreso hospitalario. Dos

características asociadas con frecuencia son la identificación de un cáncer de pulmón, y la presencia concurrente de auto-anticuerpos contra antígenos de significado poco claro con el síndrome límbico. Por el contrario, la interrupción farmacológica o genética de receptores GABA_B resulta en fenotipos que se asemejan mucho al síndrome límbico de pacientes con anticuerpos contra el receptor GABA_B. Además de ello, en los seres humanos, un polimorfismo del receptor GABA_B común se asocia con epilepsia del lóbulo temporal.

Cuarenta y siete por ciento de los pacientes con encefalitis y anticuerpos del receptor GABAB tenía un nódulo pulmonar o adenopatía mediastinal, cuyos rasgos patológicos, radiológicos y demográficos (intervalo de edades 53-75 años, todos fumadores) eran consistentes con un SCLC o tumor neuroendocrino. Por lo tanto, la autoinmunidad GABA_B está probablemente implicada en un cierto número de pacientes con encefalitis límbica y SCLC considerado previamente "sin anticuerpos" o atribuida a anticuerpos contra antígenos intracelulares, en particular si una mejora drástica (e inesperada) se producía después del tratamiento del tumor o la inmunoterapia. Además de ello, la encefalitis del receptor anti-GABA_B puede producirse sin la asociación del cáncer. Cinco de estos pacientes eran jóvenes (edad media 30 años, intervalo 24-45), sin antecedentes de tabaquismo, detección de cáncer integral negativa incluyendo CT/PET-FDG y, en algunos casos, seguimiento a largo plazo (41 y 72 meses), haciendo poco probable la presencia de un cáncer oculto en todos los casos. A este respecto, la encefalitis del receptor anti-GABAB es similar a otros autoinmunidades sinápticas del sistema nervioso central (NMDAR, AMPAR) o periférico (receptor de acetilcolina, VGCC de tipo P/Q) que puede producirse con o sin asociación con el cáncer. Como ocurre en estos trastornos, el 40% de los pacientes con encefalitis del receptor anti-GABA_B (el 50% de las personas sin tumor) tenía auto-anticuerpos adicionales, lo que indica una propensión a la autoinmunidad. El solapamiento inmunológico más interesante fue con anticuerpos contra GAD (un antígeno intracelular), con lo que se considera que un subgrupo de pacientes con encefalitis límbica atribuida a la autoinmunidad GAD puede tener anticuerpos contra epítopos extracelulares del receptor GABA_B como causa plausible de los síntomas. Todos juntos, los anticuerpos contra el receptor GABA_{B1} se pueden utilizar para diagnosticar la encefalitis, por lo general manifestándose como un síndrome límbico, pero con convulsiones tempranas y prominentes. En el momento en el que se determinaron anticuerpos, los títulos en suero pueden ser muy bajos, y se prefiere el examen de suero y CSF. La identificación de estos anticuerpos debería incitar a la búsqueda de un SCLC, aunque aproximadamente el 50% de los pacientes no tienen cáncer. El tratamiento del tumor y la inmunoterapia con corticosteroides, IVIg, o intercambio de plasma a menudo resulta en una mejora. La unión drástica y específica del anticuerpo del receptor GABAB en las neuronas vivas y la similitud con fenotipos experimentales en los que se suprime la función del receptor demuestra que los anticuerpos son patógenos.

Ejemplo 2: Anticuerpos del receptor GABA_B en la Encefalitis Límbica y Trastornos Neurológicos Asociados a Anti-GAD

Los autores de la invención analizaron la frecuencia de GABA_BR-ab en 147 pacientes con LE o síndromes neurológicos asociados con GAD-ab. Examinaron la presencia de GABA_BR-ab en 70 pacientes con LE (33 paraneoplásicos con anticuerpos onconeurales, 18 paraneoplásicos sin anticuerpos onconeurales y 19 idiopáticos con GAD-ab o seronegativos) y 77 pacientes con síndromes neurológicos asociados a GAD-ab distintos de LE (29 con síndrome de persona rígida (SPS), 28 con ataxia cerebelosa, 14 con epilepsia y 6 con diversos síndromes neurológicos paraneoplásicos). GABA_BR-ab fueron analizados en las muestras almacenadas de suero o CSF mediante inmunofluorescencia indirecta en células HEK293 transfectadas con subunidades del receptor GABA_{B1} y GABA_{B2}.

 ${\sf GABA_BR}$ -ab se detectaron en 10 de los 70 pacientes con LE (14%). Ocho tenían SCLC y dos eran idiopáticos. Uno de los ocho pacientes de LE con SCLC tenían un anticuerpo onconeural adicional (Hu) y dos ${\sf GAD}$ -ab. ${\sf GABA_BR}$ -ab fueron identificados en 7 (70%) de los 10 pacientes con LE y SCLC sin anticuerpos onconeurales. Anticuerpos ${\sf GABA_BR}$ -ab no se encontraron en pacientes con ${\sf GAD}$ -ab y SPS, ataxia cerebelosa o epilepsia. Sin embargo, un paciente con ${\sf GAD}$ -ab y ataxia cerebelosa también presentó ${\sf GABA_BR}$ -ab en el entorno de un carcinoide anaplásico del timo.

Los resultados de los autores de la invención demuestran que GABA_BR-ab son los anticuerpos más comunes que se encuentran en LE asociada con SCLC que antes se consideraban "seronegativos". En pacientes con GAD-ab, la frecuencia de GABA_BR-ab es baja y solamente se observa en el contexto del cáncer.

50 Métodos

5

10

15

20

25

30

35

40

Pacientes. Los autores de la invención revisaron todos los pacientes con diagnóstico final de LE, o con otros síndromes neurológicos asociados con el GAD-ab, cuyo suero o CSF fue enviado a su laboratorio (Barcelona, España) para el análisis de anticuerpos antineuronales. La LE se definió por la aparición sub-aguda de la pérdida de memoria a corto plazo, el cambio de comportamiento, convulsiones y la participación de los lóbulos temporales por EEG, estudios de formación de imágenes o examen post mortem. La LE se consideró definitiva paraneoplásica si se diagnosticó un tumor o el suero presentaba anticuerpos onconeurales bien caracterizados (Hu, Yo, Ri, CV2, Ma2, anfifisina). El diagnóstico de la LE idiopática definida requería la ausencia de cáncer y anticuerpos onconeurales bien caracterizados, y un seguimiento de al menos tres años. Los pacientes con LE con un seguimiento más corto se clasificaron como LE idiopáticos posibles. Los pacientes con GAD-ab se clasificaron, como se informó anteriormente, en uno de los siguientes grupos: síndrome de persona rígida (SPS), ataxia cerebelosa, epilepsia aislada y síndromes neurológicos paraneoplásicos. La información se obtuvo de impresos cumplimentados por los neurólogos de referencia, entrevistas telefónicas y la revisión de los historiales clínicos. El estudio fue aprobado por el Comité de Ética del Hospital Clinic.

Estudios inmunológicos. Anticuerpos onconeurales, SOX1-ab y GAD-ab fueron rastreados por inmunohistoquímica realizada en cortes congelados de cerebelo de rata perfundidos con paraformaldehído, utilizando una técnica de avidina-biotina inmunoperoxidasa y fueron confirmados por inmunotransferencia cuando fuese indicado. GAD-ab fueron confirmados por radioinmunoensayo. Anticuerpos neurópilos fueron examinados por inmunohistoquímica en cortes congelados de cerebro de rata post-fijados con paraformaldehído al 4%. La presencia de anticuerpos contra el receptor de glutamato AMPA se confirmó por inmunofluorescencia en células HEK-293 transfectadas con plásmidos que contienen los antígenos apropiados y anticuerpos de canales de potasio sincronizados en tensión (VGKC) fueron confirmados por radioinmunoensayo.

GABA_BR-ab fueron rastreados en células HEK293 transfectadas con plásmidos que contenían GABA_{B1} y GABA_{B2} de roedores en relaciones equimolares. Muestras positivas fueron también analizadas por inmunocitoquímica de cultivos neuronales del hipocampo de ratas. Ambas técnicas se han descrito previamente. En síntesis, células HEK293 transfectadas se incubaron con suero de los pacientes (dilución 1:20) o CSF (1:2) durante 1 h a 37°C, se lavaron, se fijaron con paraformaldehído al 4%, se incubaron con un anticuerpo GABA_{B1} policional de conejo (1:1000) (Santa Cruz Biotechnology, sc-14006, Santa Cruz, California), seguido de los anticuerpos secundarios Alexa Fluor apropiados (Molecular Probes, Eugene, OR). Para la inmunocitoquímica de cultivos neuronales del hipocampo de ratas, las neuronas vivas cultivadas en cubreobjetos se incubaron con suero de los pacientes (1:100) o CSF (1:2) durante 1 h a 37°C, se lavaron, se fijaron con paraformaldehído al 4% y se hicieron reaccionar en condiciones inmunológicas con anticuerpo secundario anti-humano IgG Alexa Fluor. Los resultados se fotografiaron con un microscopio de fluorescencia utilizando el software Zeiss Axiovision (Zeiss, Thornwood, NY). Para confirmar la especificidad de la reactividad neuronal, todas las muestras positivas se pre-absorbieron con la línea celular no neuronal HEK293 para separar los anticuerpos que podrían reaccionar con antígenos de superficie específicos no neuronales.

Resultados

5

10

25

30

35

40

45

Once pacientes dieron positivo para GABA_BR-ab en el rastreo de células HEK293 transfectadas con las subunidades B1 y B2 del GABA_BR (Figura 7). Todas las muestras positivas reaccionaban *in vivo* en condiciones inmunológicas con cultivos primarios de neuronas del hipocampo (Figura 8). GABA_BR-ab eran positivos tanto en suero como en CSF en los 5 pacientes de los cuales estaban disponibles muestras emparejadas. El título mediano de GABA_BR-ab era 1/120 (intervalo 40-2000) en suero y 1/60 (intervalo 20-640) en el CSF.

Los autores de la invención encontraron GABA_BR-ab en 10 pacientes con LE. GABA_BR-ab positivos se identificaron con mayor frecuencia en el grupo de LE paraneoplásica sin anticuerpos onconeurales (previamente considerados "seronegativos") (Tabla 3). Siete (39%) de los 18 pacientes eran GABA_BR-ab-positivos y todos tenían SCLC. En total, GABA_BR-ab-positivos fueron identificados en 7 (70%) de los 10 pacientes con LE y SCLC sin anticuerpos onconeurales. Los otros tres pacientes eran positivos para AMPAR-ab. La coincidencia de GABA_BR-ab y GAD-ab se produjo en 2 pacientes con SCLC, mientras que los otros tres pacientes con LE y GAD-ab se asocia con otros tumores (timoma 2, linfoma) y eran GABA_BR-ab-negativos.

En este estudio, los autores de la invención analizaron 33 pacientes con LE y anticuerpos onconeurales, y sólo uno, con Hu-ab y SCLC, dio positivo para GABA_BR-ab. Sin embargo, 4 de los 7 pacientes con LE con GABA_BR-ab sin anticuerpos onconeurales presentaban anticuerpos contra antígenos intracelulares (Tabla 4). Dos pacientes tenían GAD-ab (uno también SOX1-ab), uno Hu-ab y, en dos casos previamente reseñados, uno tenía serina/treonina quinasa (BRSK)2-ab del cerebro y el otro SOX1 y VGKC-ab.

No se identificó tumor en los 2 pacientes GABA_BR-ab-positivos restantes, pero el seguimiento es demasiado corto como para clasificarlos como LE idiopática definitiva. Ninguno de los 5 pacientes con LE idiopática y GAD-ab eran positivos para GABA_BR-ab (Tabla 3).

Un resumen de las características clínicas de los pacientes GABA_BR-ab-positivos se presenta en la Tabla 4. Nueve de los 10 pacientes con GABA_BR-ab y LE eran hombres. La mediana de edad era de 60 años (intervalo: 47-70 años). Las convulsiones eran el síntoma predominante y 8 pacientes presentaban síntomas y 2 requirieron ingreso en la unidad de cuidados intensivos para el control de las convulsiones. Todos los pacientes presentaban también confusión, desorientación, pérdida de memoria o cambios en el comportamiento consistentes con la encefalitis que implica predominantemente el sistema límbico. El CSF reveló pleocitosis linfocitaria leve en 4 pacientes. El MRI del cerebro mostró una señal incrementada de recuperación de inversión atenuada de fluidos en uno o ambos hipocampos y amígdala en 7 pacientes. En 4 de ellos la MRI del cerebro inicial se reseñó como normal. Sólo 1 paciente tenía hiponatremia. Siete pacientes fueron tratados con esteroides, inmunoglobulinas intravenosas o la combinación de ambos fármacos. Tres de los 8 pacientes con SCLC fueron también tratados con quimioterapia. Sólo 2 pacientes consiguieron una recuperación completa (uno sin cáncer) y ninguno de ellos tenía anticuerpos antineuronales concurrentes. Respuestas parciales a los tratamientos indicados se lograron en 4 con una recaída en uno de ellos.

GABA_BR-ab no se detectaron en 71 pacientes con GAD-ab y SPS, ataxia cerebelosa o epilepsia. Por el contrario, uno de los 6 pacientes con síndromes neurológicos paraneoplásicos y GAD-ab era GABA_BR-ab positivo (Tabla 3). Era una mujer de 57 años de edad con un carcinoide anaplásico conocido de metástasis de timo y huesos. Desarrolló náuseas, vómitos, inestabilidad de los andares y diplopía. El examen neurológico reveló un estado mental normal, nistagmo horizontal bilateral y ataxia cerebelosa en los andares. La paciente fue tratada con esteroides orales y los síntomas se resolvieron lentamente durante los siguientes tres meses.

Tabla 3. Frecuencia de GABA_BR-ab en 147 pacientes con encefalitis límbica o síndromes neurológicos asociados a GAD-ab

Síndrome	Número de sueros (CSF)	GABA _B R-ab positivos (%)	Comentarios sobre casos positivos
LE paraneoplásica	51(21)	8 (16)	
Con ab onconeural ¹	33 (14)	1(3)	Hu-ab con SCLC
Sin ab onconeural ²	18 (7)	7(39)	Todos SCLC, GAD-ab: 2
<u>LE idiopática³</u>	19(15)	2(14)	Seguimiento corto
GAD-ab-positivos, no-LE	77 (48)	1(1)	
Síndrome de persona rígida	29 (16)	0 (0)	
Ataxia cerebelosa	28 (19)	0 (0)	
Epilepsia	14 (9)	0 (0)	
Paraneoplásicos	6 (4)	1(17)	Ataxia cerebelar

^{1.} Hu-ab (26), Ma2-ab (4), anfifisina-ab (3). Cáncer de pulmón en 18 pacientes

5

10

15

20

^{2.} GAD-ab en cinco pacientes. Cáncer de pulmón en 11 pacientes (SCLC: 10; NSCLC: 1)

^{3.} GAD-ab en cinco pacientes. LE idiopática definida: 7 pacientes

SCLC: carcinoma de pulmón de células pequeñas; LE: encefalitis límbica

Tabla 4. Rasgos clínicos y resultado de pacientes con anticuerpos GABABR positivos

Ca- so	Edad/	Cáncer	Síntomas que presenta ^c	MRI	CSF pleocitosis	Otros ab antineurona-	Tratamiento	Resultado (meses)
	sexo			Lesiones temporales	(WBC)	les		
-	W/09	SCLC	Estado epiléptico	Izquierdo	Sí (descono- cida)	Ninguno	Esteroides, IVIg	Control parcial de las convulsiones (fallece por complicaciones en la UCI)
7	57/F	SCLC	Convulsiones, cambio en el comportamiento	Bilateral	o Z	Ninguno	Esteroides, IVIg	Recuperación completa ^d
က	W/99	SCLC	Convulsiones, confusión	Normal	Sí (18)	GAD	Esteroides, IVIg	No disponible (seg. corto)
ф в	47/M	SCLC	Convulsiones, cambio en el comportamiento deterioro de la memoria	Bilateral	Sí (20)	SOX1, VGKC	Esteroides, IVI quimioterapia	IVIg, Recuperación parcial, curso de recaída (fallece por progreso del cáncer)
သို	W/69	SCLC	Convulsiones, deterioro de la memoria, confusión	Izquierdo	Traumática	Ninguno	Quimioterapia	Respuesta parcial. Fallece por tratamiento relacionado con el cáncer (3 meses)
9	70/M	SCLC	Convulsiones, deterioro de la memoria, confusión	Normal	ON.	GAD, SOX1	Esteroides, IVIg, quimioterapia	g, Sin respuesta. Fallece por tratamiento relacionado con el cáncer (2 meses)
^	58/M	SCLC	Convulsiones, deterioro de la memoria	Bilateral	Sí (15)	п	Esteroides, IVIg, quimioterapia	g, Sin respuesta (fallece por LE)
8	61/M	SCLC	Deterioro de la memoria	Bilateral	ON	BRSK2	Ninguno	Sin respuesta. Perdido cuando se diagnosticó el tumor 9 meses más tarde

oatía		
Mejoría parcial. Neuropatía por UCI grave	in completa	Recuperación completa
Mejoría par por UCI grav	Recuperación completa	Recuperació
IVIg	Antiepilépticos sólo	Esteroides
Ninguno	Ninguno	GAD
0 V	o Z	0 Z
Normal	Bilateral	Normal
siones, el	sterioro o y la	-qns
convuls en iiento	es, de ntamient	rebelosa
Confusión, convulsiones, cambio en el comportamiento	Convulsiones, deterioro del comportamiento y la memoria	Ataxia cerebelosa sub- aguda
o Z	o N	Carci- noide del timo
61/M No	50/M No	57/F
တ	0	

SCLC: cáncer de pulmón de células pequeñas; WBC: leucocitos; BRSK2: serina/treonina quinasa 2 del cerebro. a: pacientes que han sido reseñados previamente en las referencias 10 y 9; b: incluidos en la serie inicial de GABAR-ab (referencia 4); c: síntoma predominante enumerado en primer lugar; d: Recuperación antes del inicio de la quimioterapia.

Para ver si GABA_BR-ab se asocian con otros casos de degeneración cerebelosa paraneoplásica (PCD), los autores de la invención analizaron el suero o el CSF de una serie de 45 pacientes con PCD y cáncer de pulmón (35 con SCLC). La mayoría (73%) se incluyeron en un estudio previo. Estos pacientes tenían Hu-ab (15%) o anticuerpos de canales de potasio sincronizados en tensión (50%). Sin embargo, todos eran negativos para GABA_BR-ab.

- Los autores de la invención encontraron que GABA_BR-ab son los anticuerpos más comunes identificadas en pacientes con SCLC y LE previamente considerados "seronegativos". Aunque la aparición de GABA_BR-ab y GAD-ab se observó en una serie inicial de 15 pacientes, cuando los autores de la invención sometieron a ensayo una serie mayor de pacientes con varios tipos de síndromes neurológicos asociados con GAD-ab, GABA_BR-ab solamente fueron identificados en los que tenían un síndrome paraneoplásico.
- En el momento de la descripción inicial de Hu-ab como marcadores de síndromes neurológicos asociados con SCLC, los autores de la invención observaron que hasta el 50% de los pacientes con LE eran "seronegativos". El síndrome de estos pacientes estaba muy restringido al sistema límbico y parecía mejorar con mayor frecuencia después del tratamiento del cáncer que el de los pacientes con Hu-ab. En el presente estudio, 7 de cada 10 (70%) pacientes con LE y SCLC tenían GABA_BR-ab. Los otros 3 pacientes eran positivos para AMPAR-ab. Considerados en conjunto, todos los pacientes con LE y SCLC previamente considerados seronegativos para anticuerpos paraneoplásicos clásicos (onconeurales) tenían anticuerpos contra los receptores sinápticos.

En el presente estudio los autores de la invención demostraron que Hu-ab y GABA_BR-ab sólo se producían en 1 de 33 pacientes, lo que sugiere que esta asociación específica es poco común. Por el contrario, los autores de la invención confirman que el 40% de estos pacientes tenían anticuerpos que son marcadores del SCLC subyacente (SOX1, BRSK2) o están dirigidos contra VGKC o GAD.

20

25

30

En este estudio, todos los pacientes con GABA_BR-ab y GAD-ab concurrentes tenían un trastorno paraneoplásico. En la serie inicial, 2 de los 8 pacientes con encefalitis LE idiopática tenían GAD-ab adicionales. Los autores de la invención no encontraron GABA_BR-ab en pacientes con LE o epilepsia aislada con GAD-ab, excepto en los dos pacientes con SCLC. Sus cinco pacientes con LE idiopática y GAD-ab eran mujeres con una media de edad de 29 años y cuatro presentaban convulsiones. Para determinar la frecuencia con la que ambos anticuerpos coinciden en pacientes con LE idiopática, los autores de la invención sugieren la búsqueda rutinaria de GABA_BR-ab en todos los pacientes con LE sospechosa de estar relacionada con GAD-ab.

Habiendo descrito realizaciones preferidas de la invención con referencia a los dibujos que se acompañan, ha de entenderse que la invención no está limitada a las realizaciones precisas, y que pueden efectuarse diversos cambios y modificaciones en la misma por los expertos en la técnica sin apartarse del alcance o espíritu de la invención tal como se define en las reivindicaciones adjuntas.

REIVINDICACIONES

1. Un método para diagnosticar

5

10

- a) una encefalitis autoinmune,
- b) un tumor oculto que provoca una encefalitis autoinmune, o
- c) en un sujeto con epilepsia, un tumor que provoca la epilepsia,

comprendiendo el método testar una muestra biológica de un sujeto para determinar la presencia de un anticuerpo contra un receptor GABA_B, en el que la presencia de dicho anticuerpo en dicha muestra biológica es indicativa de que el sujeto tiene

- a) una encefalitis autoinmune, o
- b) un tumor oculto que provoca dicha encefalitis autoinmune, o
- c) en los casos en los que el sujeto tiene epilepsia, la presencia de dicho anticuerpo es indicativa de un tumor en dicho sujeto que provoca dicha epilepsia.
- 2. Un método de acuerdo con la reivindicación 1, en el que dicho anticuerpo se une a la subunidad B1 de dicho receptor GABA_B.
- 3. Un método de acuerdo con la reivindicación 1, en el que dicho anticuerpo se une a la subunidad B2 de dicho receptor GABA_B.
 - 4. Un método de acuerdo con la reivindicación 1, en el que la encefalitis autoinmune es una encefalitis autoinmune paraneoplásica.
- 5. Un método de acuerdo con la reivindicación 1, en el que la encefalitis autoinmune es una encefalitis del receptor anti-GABA_B.
 - 6. Un método de acuerdo con la reivindicación 1, en el que la encefalitis autoinmune es una encefalitis autoinmune no paraneoplásica.
 - 7. Un método de acuerdo con la reivindicación 1, en el que dicha encefalitis autoinmune comprende una encefalitis límbica.
- 25 8. Un método de acuerdo con la reivindicación 1, en el que dicha encefalitis autoinmune está asociada a síntomas patológicos.
 - 9. Un método de acuerdo con la reivindicación 8, en el que los síntomas son convulsiones; síntomas psiquiátricos; anomalía en la cognición y el comportamiento; un trastorno en el movimiento o movimientos anormales; un nivel disminuido de conciencia; hipoventilación; amnesia o déficit de memoria; o una combinación de los mismos.
- 30 10. Un método de acuerdo con la reivindicación 1, en el que dicha encefalitis autoinmune está asociada con un tumor.
 - 11. Un método de acuerdo con la reivindicación 10, en el que dicho tumor es un cáncer de pulmón de células pequeñas o un tumor neuroendocrino del pulmón u otros órganos.
- 12. Un método de acuerdo con la reivindicación 1, en el que dicha muestra biológica es una muestra de fluido cerebroespinal (CSF).
 - 13. Un método de acuerdo con la reivindicación 1, en el que la muestra biológica es una muestra de suero o de plasma.

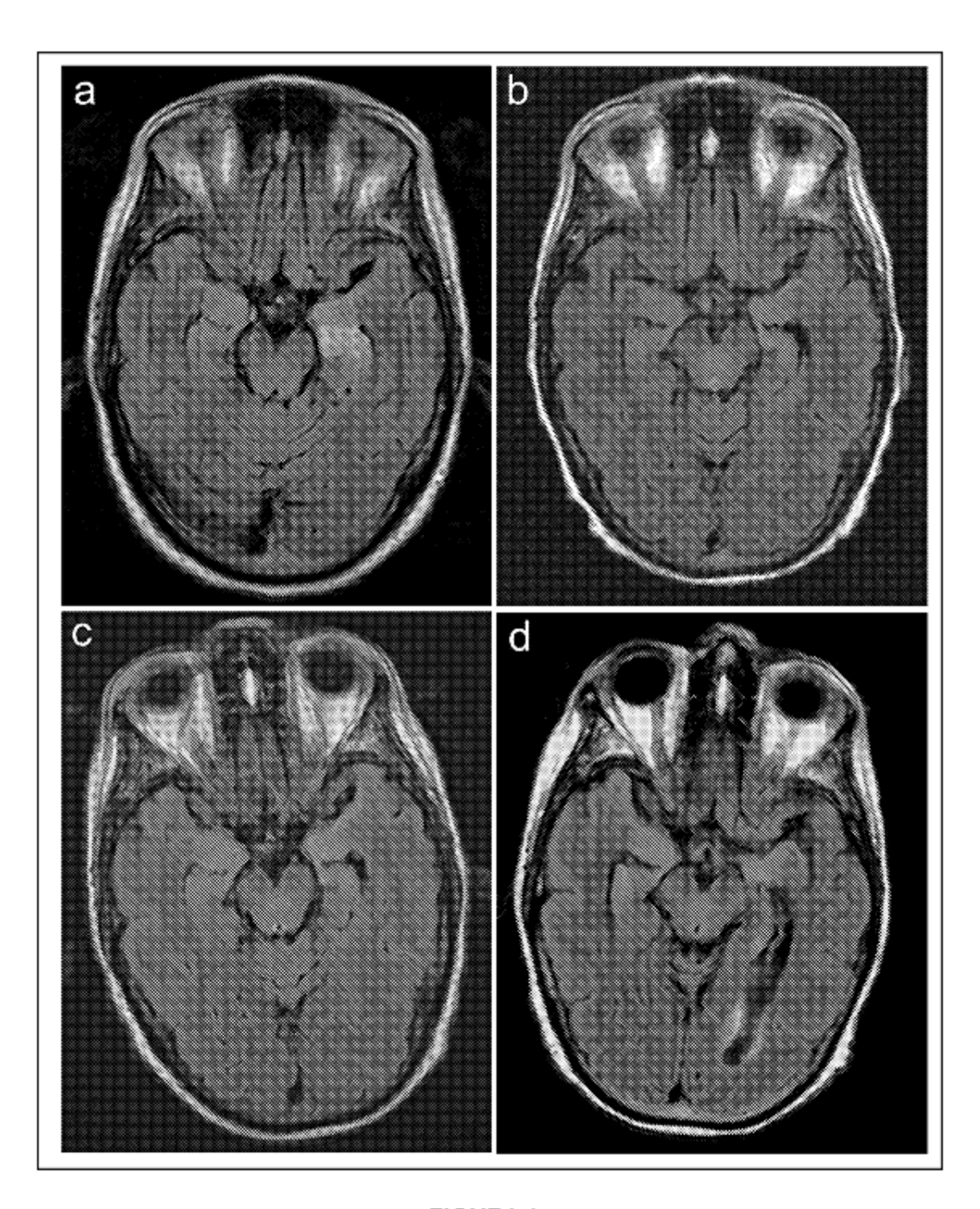


FIGURA 1

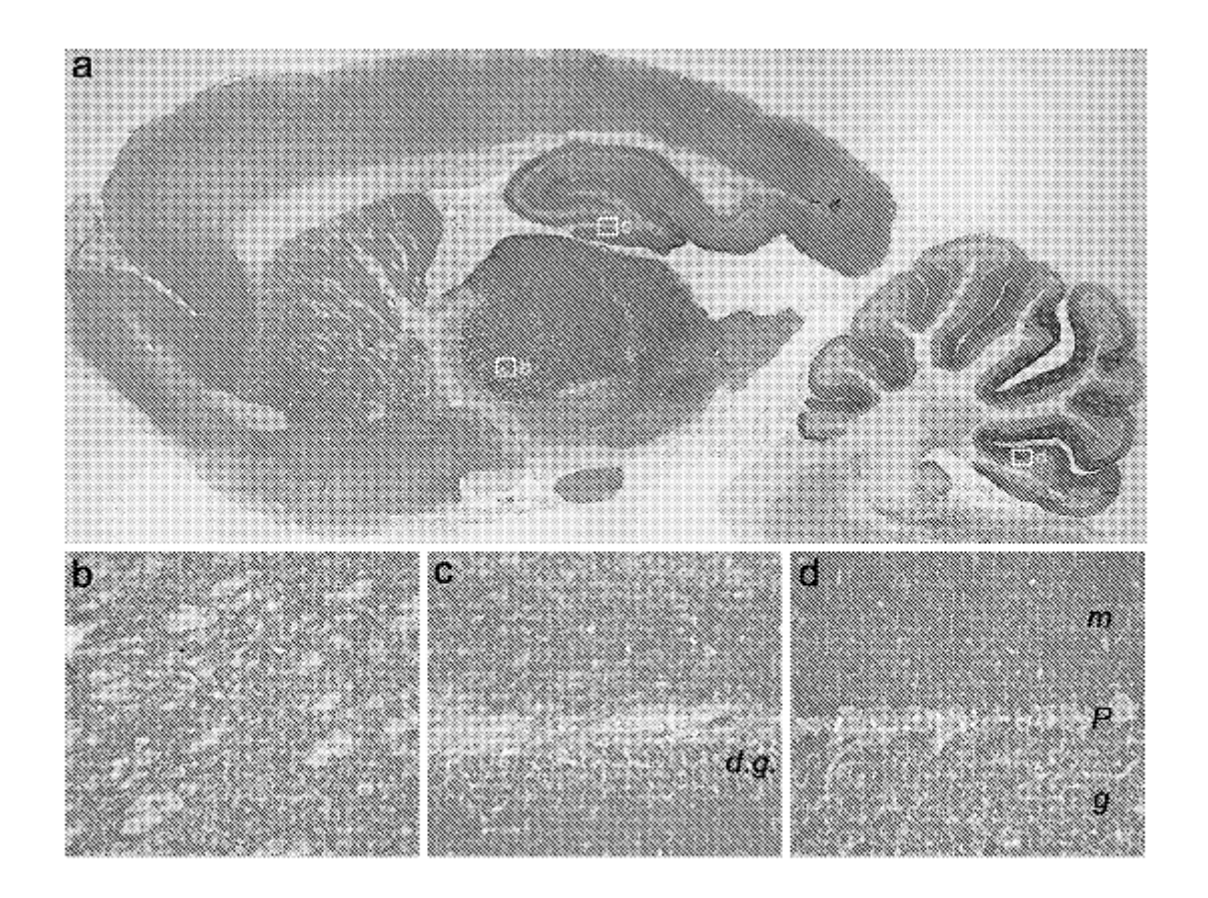


FIGURA 2

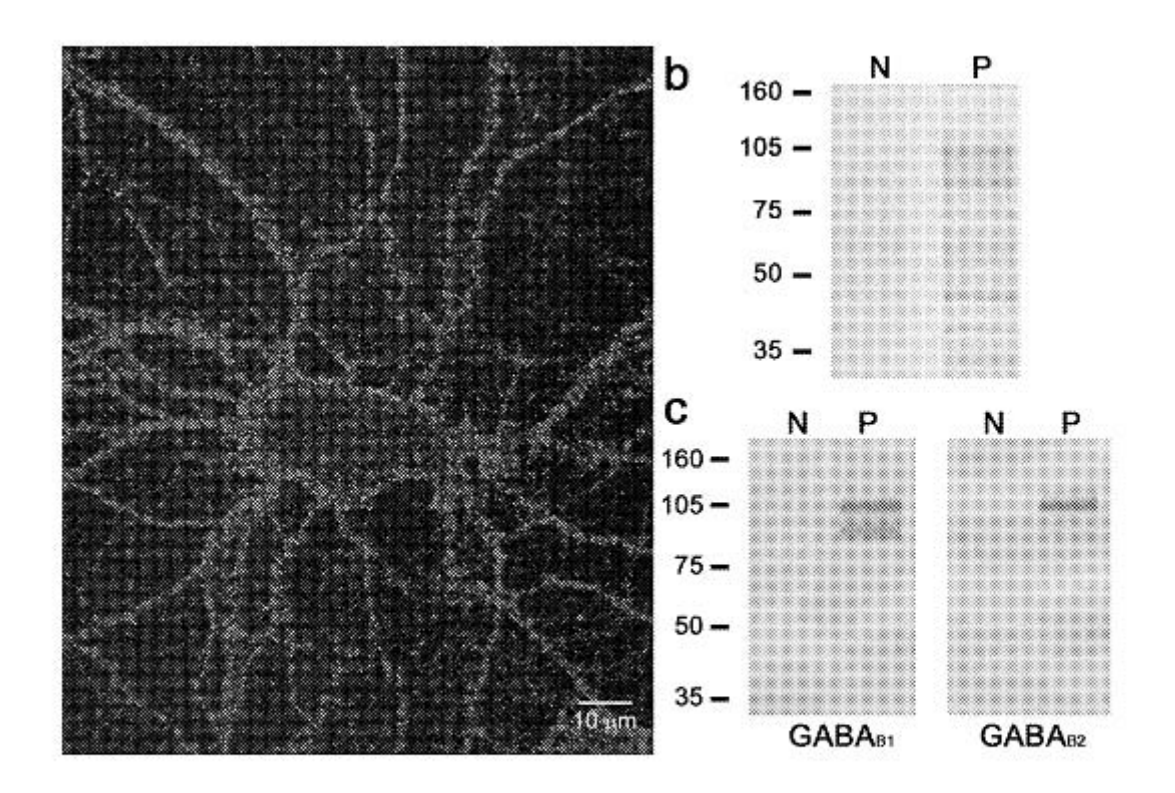


FIGURA 3

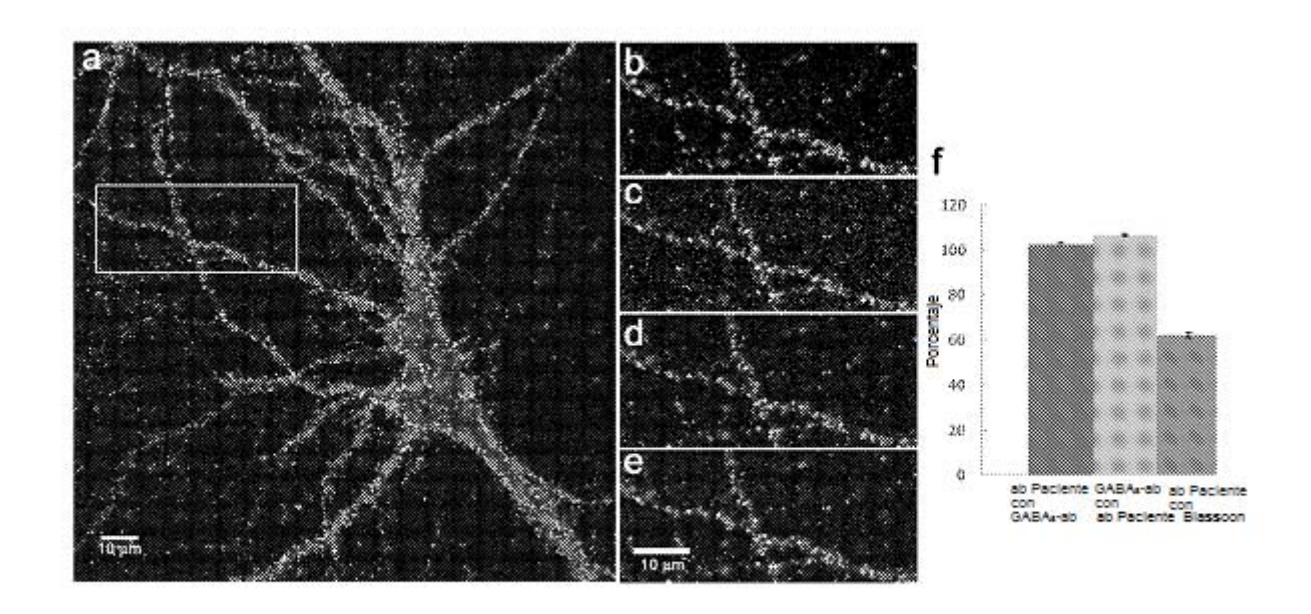


FIGURA 4

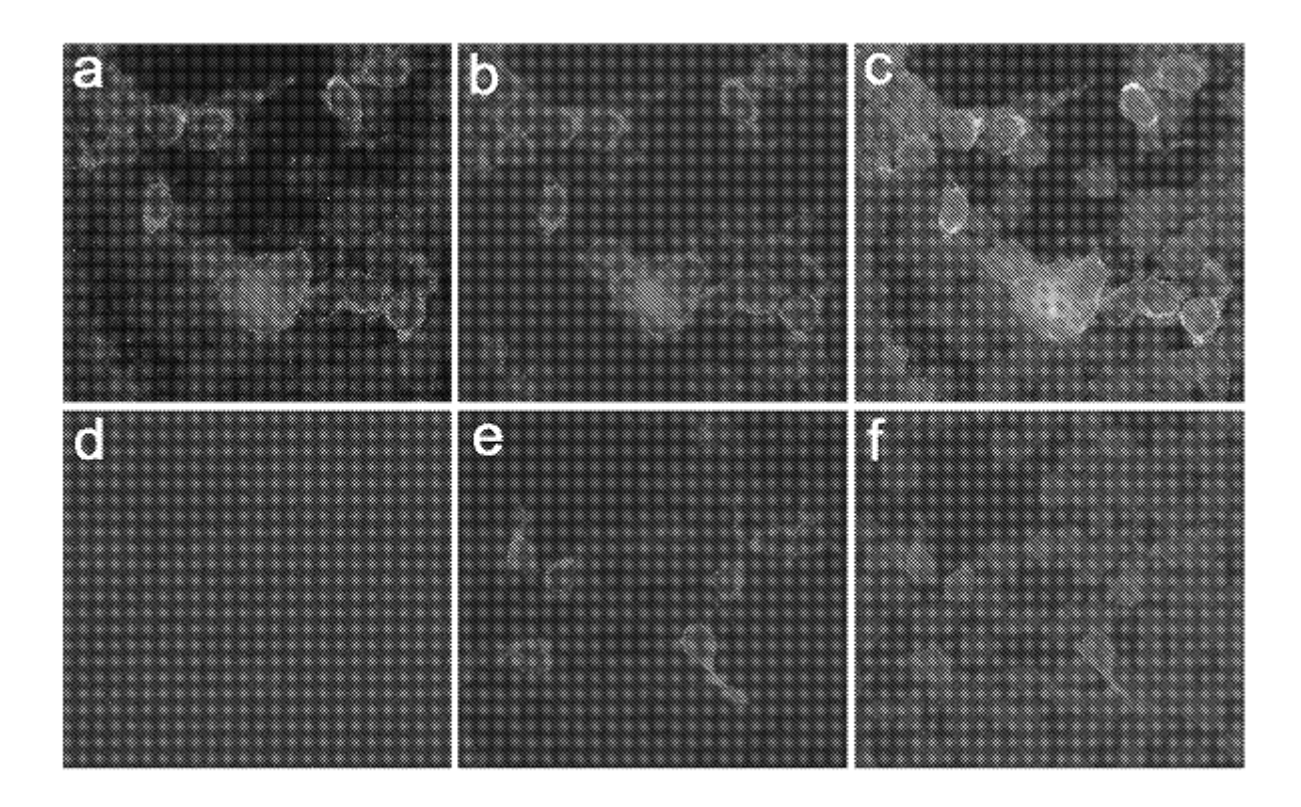


FIGURA 5

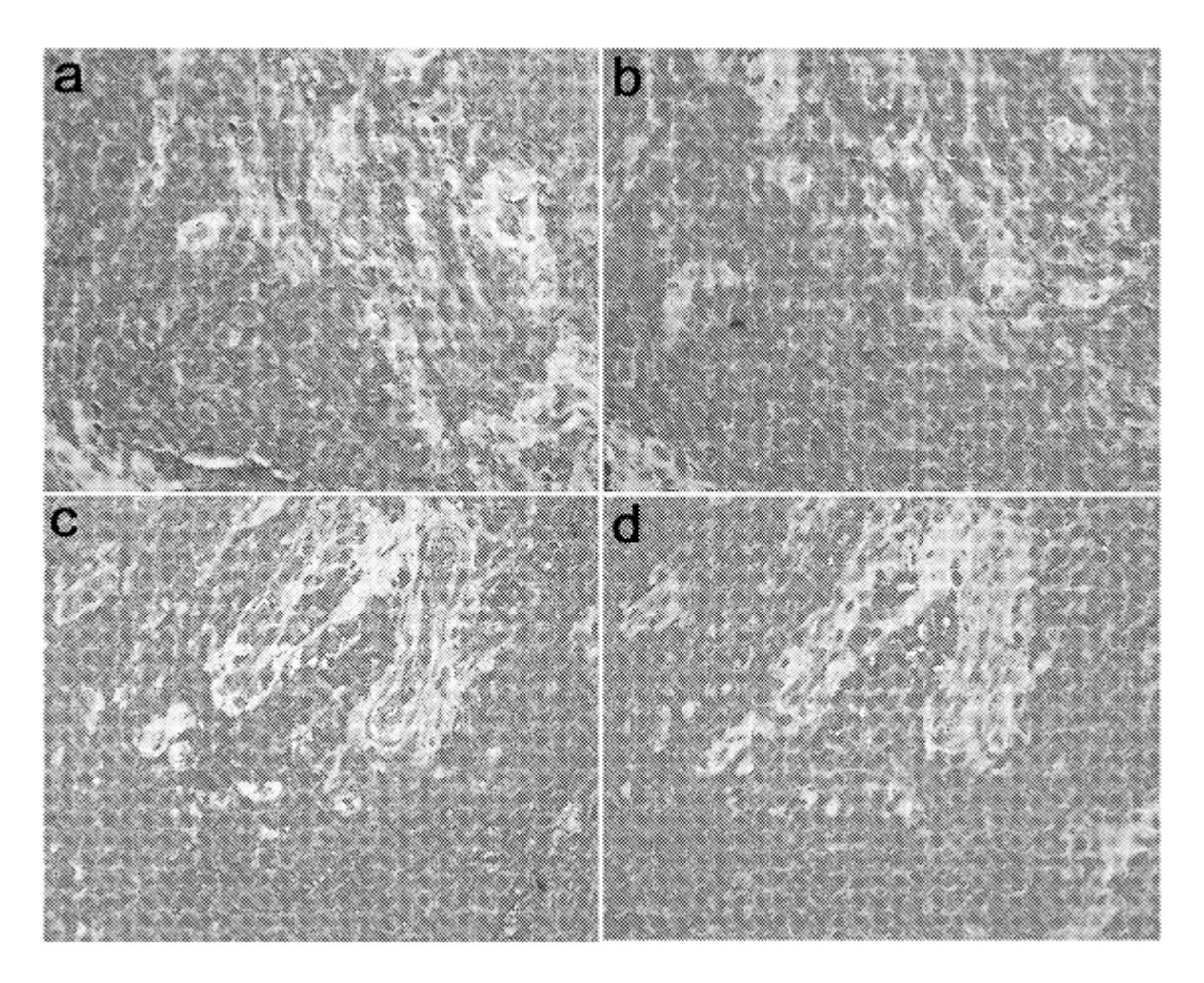
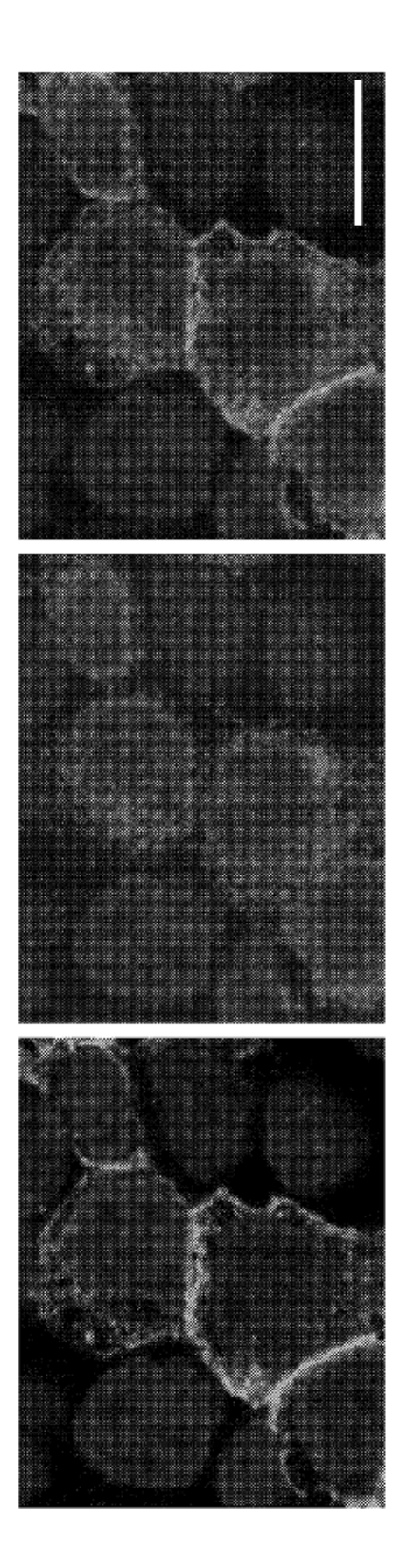


FIGURA 6



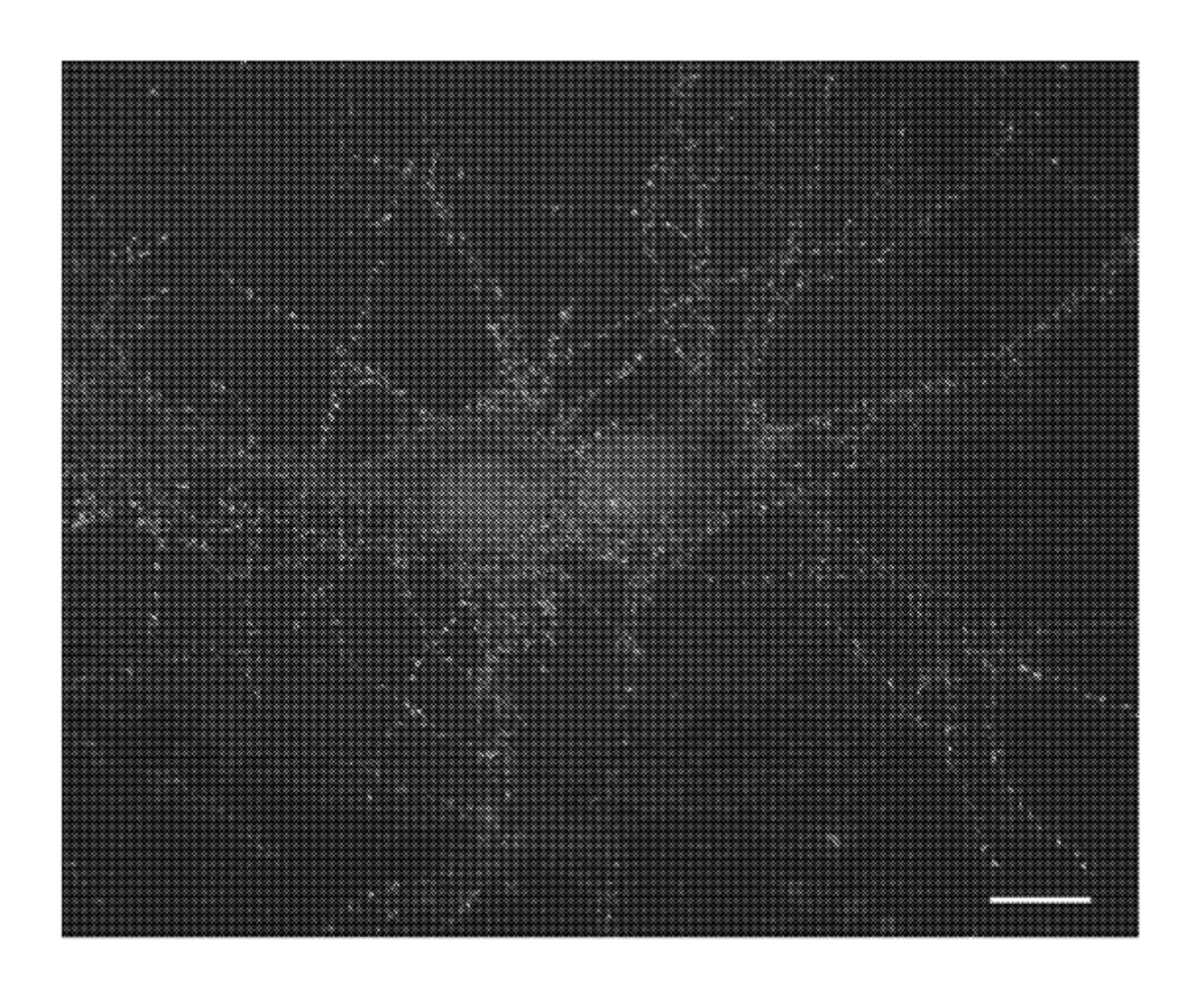


FIGURA 8